

Macizos rocosos



Mecánica de rocas

- ✓ Comportamiento mecánico de rocas y macizos rocosos (MR).
- ✓ **Respuesta de los macizos rocosos ante los campos de esfuerzos → Deformación**, se manifiesta en todas las escalas
↔ geología estructural.
- ✓ Interés: estimar y predecir el comportamiento mecánico de un MR → ciclo de vida de una obra.
- ✓ Obra de ingeniería → modificación de condiciones naturales:
 - Campos de esfuerzos → Fracturación o deformación del MR.
 - Morfología del terreno → prever que ocurrirá con la estructura y su entorno ante la acción de procesos geológicos.

Fracturas

Elemento estructural de interés en estudio de MR.

Discontinuidades estrechas y planas.

Comportamiento frágil de la roca.



Superficies de debilidad:
fragmentación de roca, desagregación
de material, circulación de fluidos.

(a) Diaclasas

(b) Fallas

Diaclasas

Fracturas con o sin desplazamiento de bloques.

Si hay desplazamiento, es perpendicular al plano de fracturación.



<https://www.meteorologiaenred.com/diaclasas.html>

Clasificación de macizos rocosos y estimación de su resistencia.

Fallas

Esfuerzos: tensionales, cizalla, compresivos.

Comportamiento frágil.

Desplazamiento entre bloques paralelo al plano de fracturación.



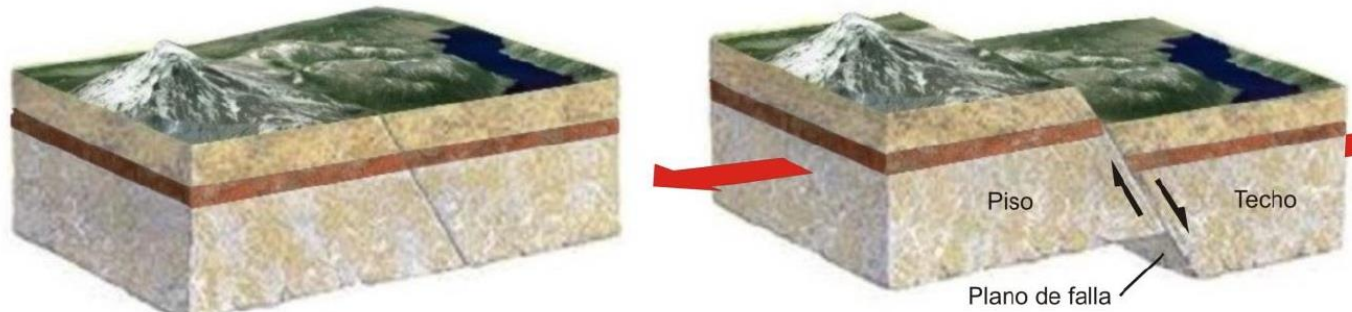
https://www.flickr.com/photos/banco_imagenes_geologicas/albums/72157625032368696/

Valle de rift - Grábrók (Islandia)

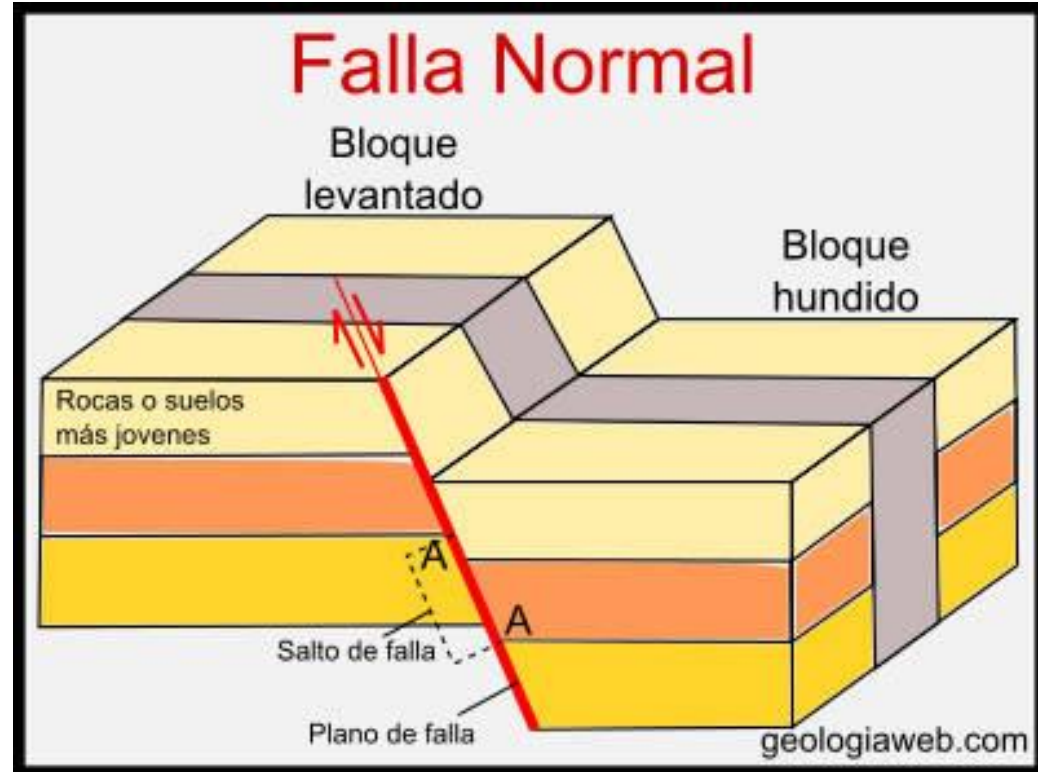
Fallas normales. Desplazamiento vertical.

Bloque superior: desliza hacia abajo.

Bloque inferior: desliza hacia arriba.



<http://contenidos.inpres.gov.ar/docs/Fallas%20Geol%C3%B3gicas.pdf>



Tensión horizontal.
Alargamiento del terreno.
Adelgazamiento CT.

Falla normal

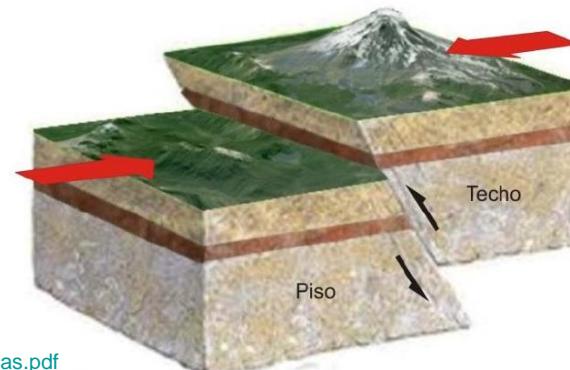
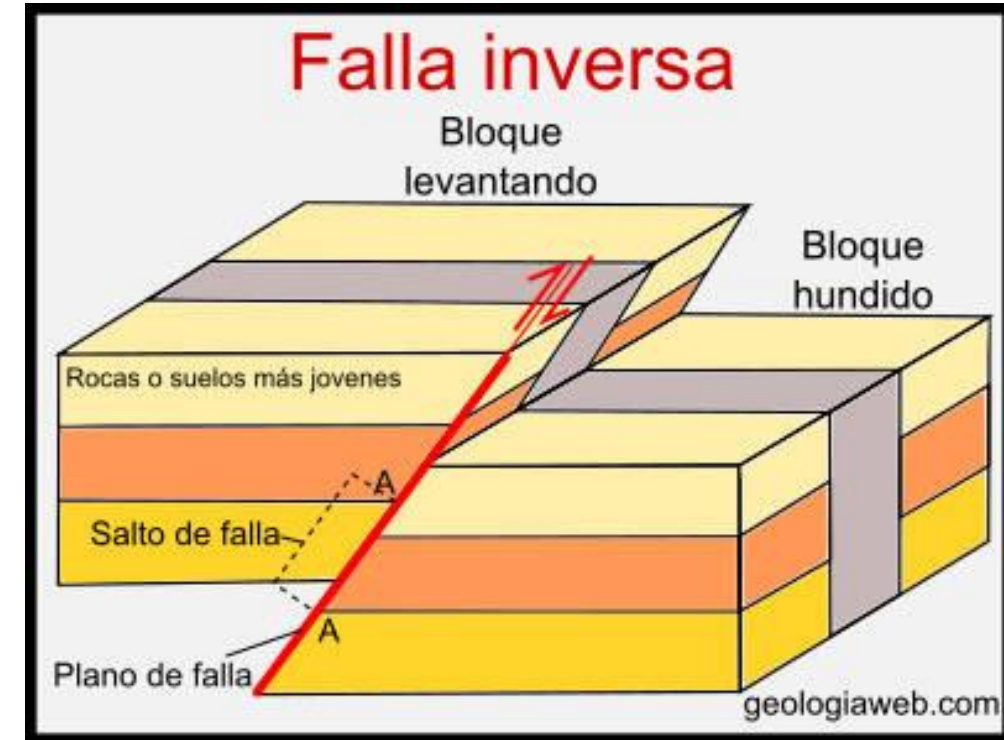


Fallas inversas.

Desplazamiento vertical.

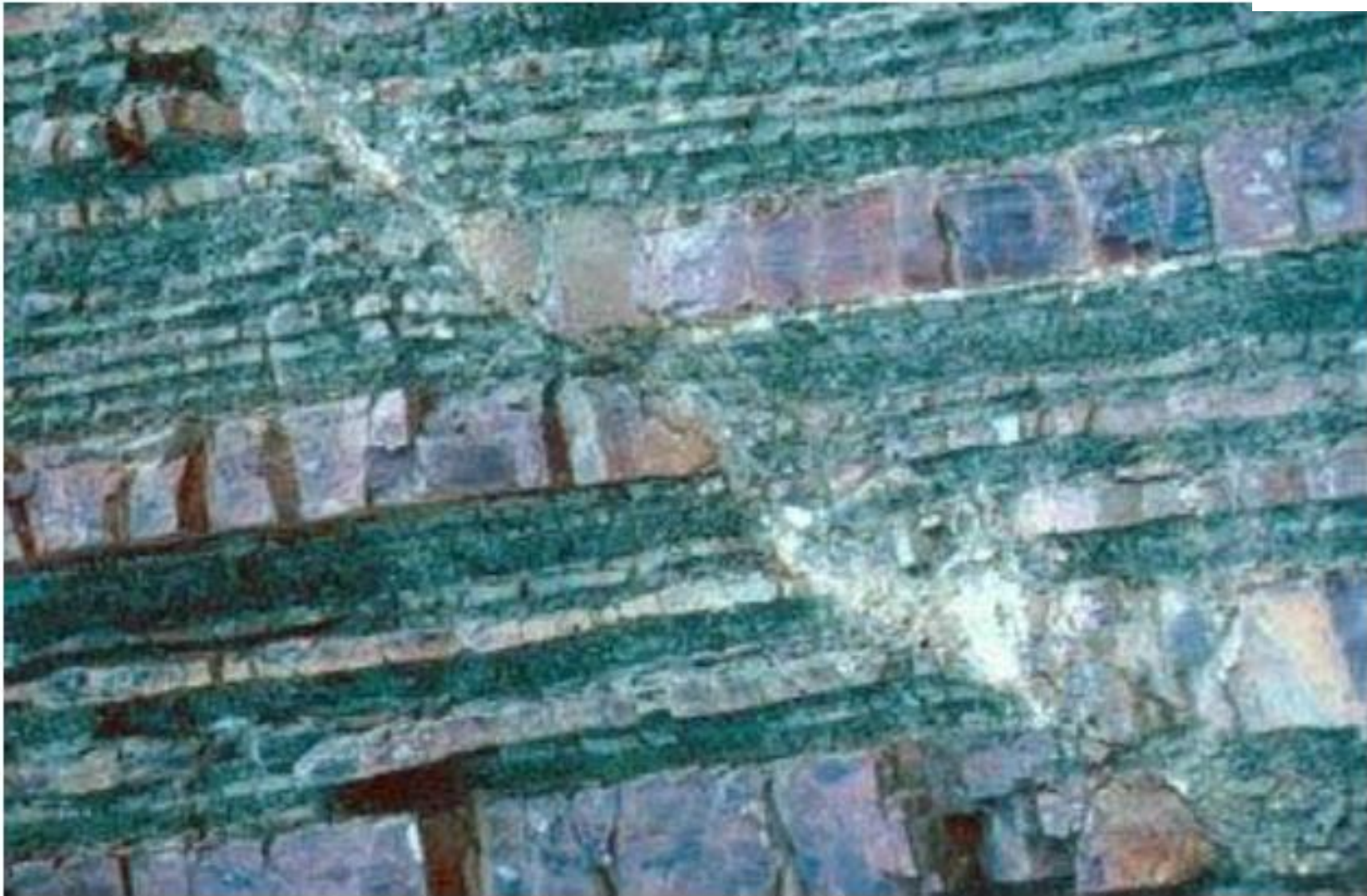
Bloque superior (techo): desliza hacia arriba.

Bloque inferior (piso): desliza hacia abajo.



Compresión horizontal.
Acortamiento del terreno.
Engrosamiento CT.

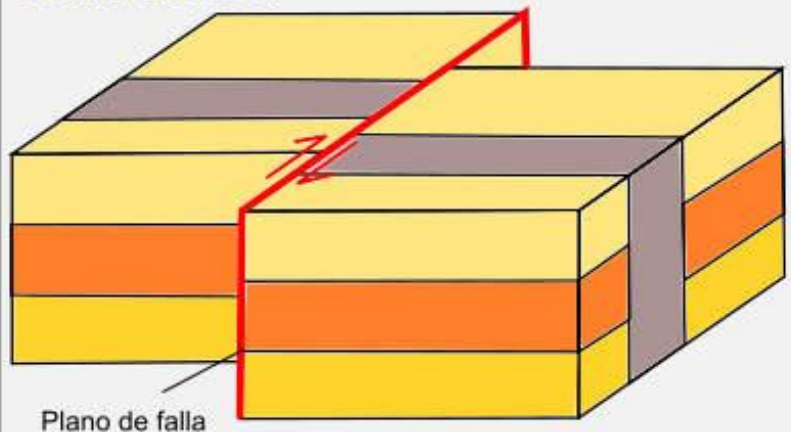
Fallas inversas



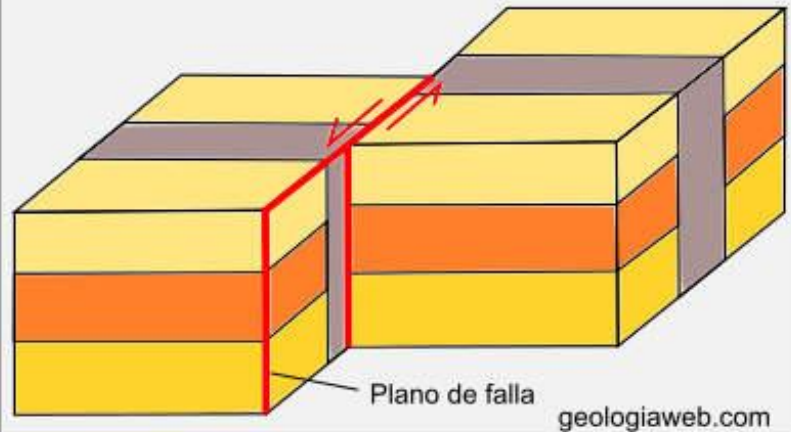
<http://contenidos.inpres.gov.ar/docs/Fallas%20Geol%C3%B3gicas.pdf>

Fallas de desgarre

Falla dextral



Falla Sinestral



geologiaweb.com

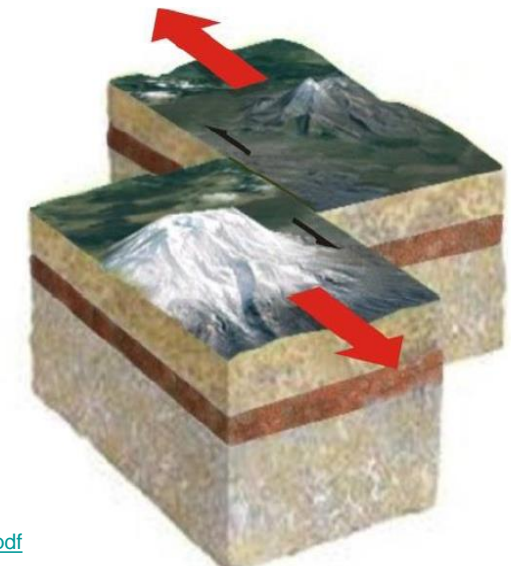
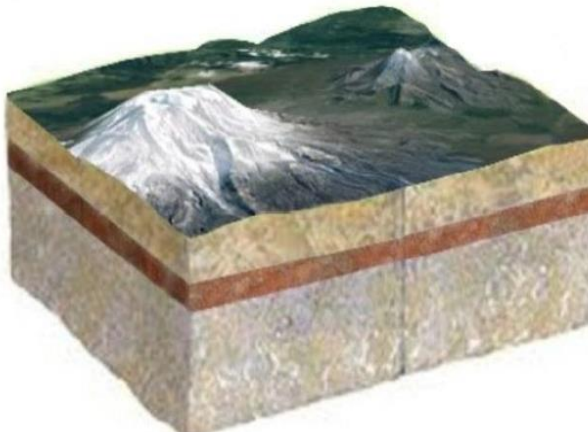
Fallas de desgarre o transcurrentes.
Desplazamiento horizontal.

Zonas de fallas → varios km.

Planos de falla verticales.

Esfuerzos de cizalla.

Desplazamiento de bloques paralelo a la superficie del terreno.

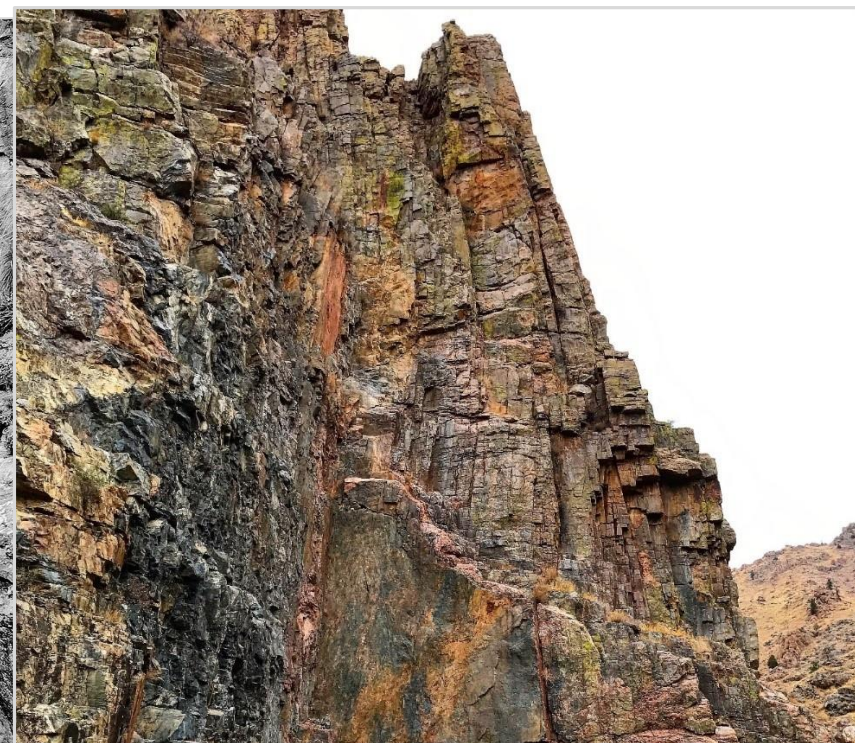


Fallas de desgarre o transcurrentes



Falla de San Andrés (<https://static3.a24.com/images/2019/9/6/r1l9K7JUH-900x000.jpeg>)

Macizos rocosos



<https://civilgeeks.com/2021/04/24/clasificaciones-geomecanicas-de-macizos-rocosos/>

Materiales naturales.

Propiedades físicas y mecánicas heterogéneas.

Afectados por parámetros que no controlamos, ej.: tensiones litostáticas, tectónicas y sísmicas, esfuerzos diferenciales que provocan deformaciones, etc.



Estimar propiedades físicas y comportamiento mecánico:

- Observaciones detalladas.
- Ensayos.
- Mediciones de parámetros físicos, mecánicos y químicos.
- Estudio geotécnico.



In situ y
laboratorio

Macizo rocoso: Roca matriz (intacta) + Discontinuidades

Manera en que se presentan las rocas en la naturaleza.



Anisótropos
propiedades físicas
y mecánicas
variables.

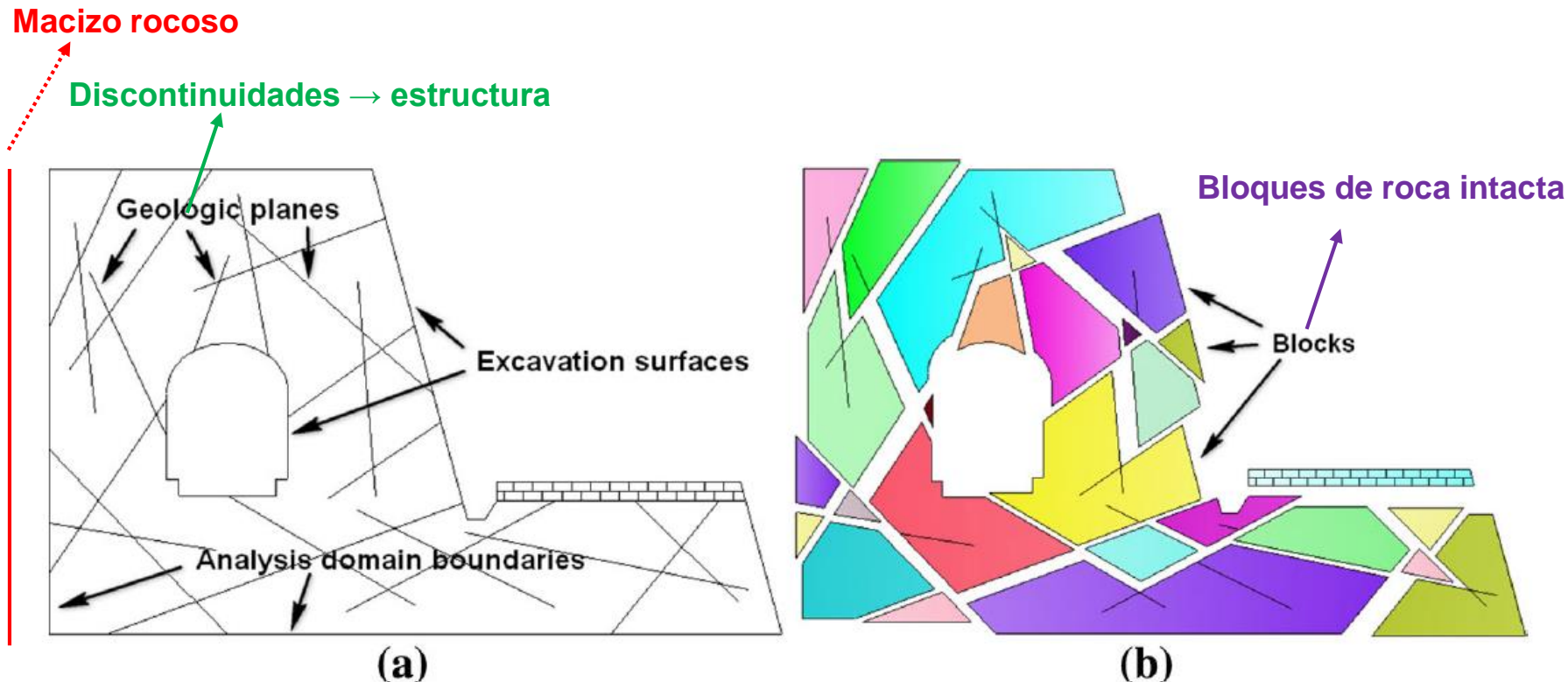
Discontinuos
estructurados en
bloques.

Heterogéneos
discontinuidades y
anisotropía.

Macizo rocoso

Roca matriz (roca intacta): agregado sólido formado por uno o más minerales, no afectado por discontinuidades observables. Bloques de roca homogénea.

Discontinuidades: planos de origen geológico que separan bloques de roca. Estructura del MR. Ej.: diaclasas, fallas, grietas, planos de estratificación, etc.



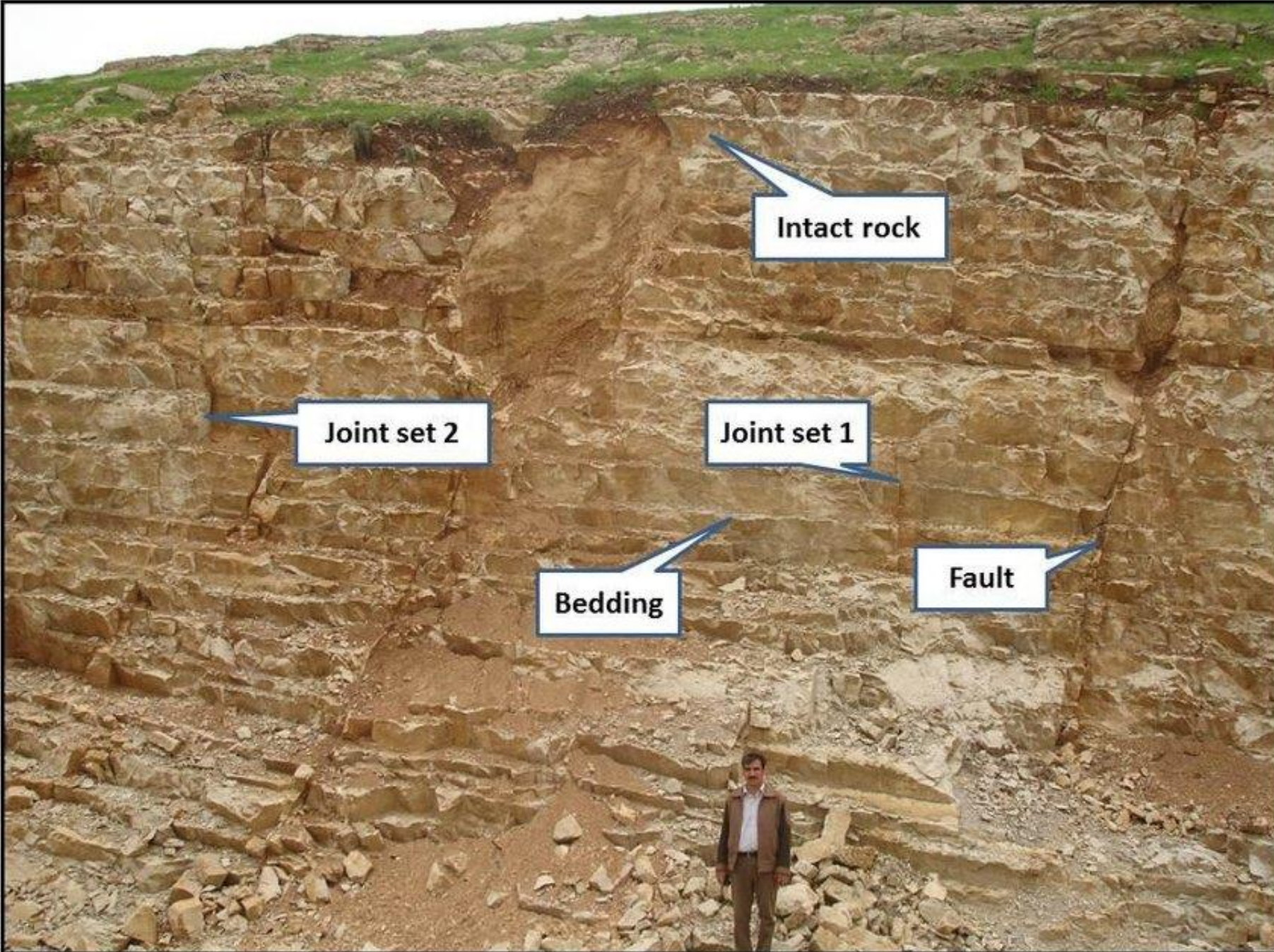
Bedding:
plano de
estratificación.

Joint set:
familia de
diacasas.

Fault: falla.

Intact rock:
roca matriz.

Limestone:
caliza.



Alshkane, Younis. (2015). Numerical Modelling Investigation of Rock Mass Behaviour under Gravity Dams.

https://www.researchgate.net/publication/280096369_Numerical_Modelling_Investigation_of_Rock_Mass_Behaviour_under_Gravity_Dams

Macizo rocoso: Roca matriz + Discontinuidades

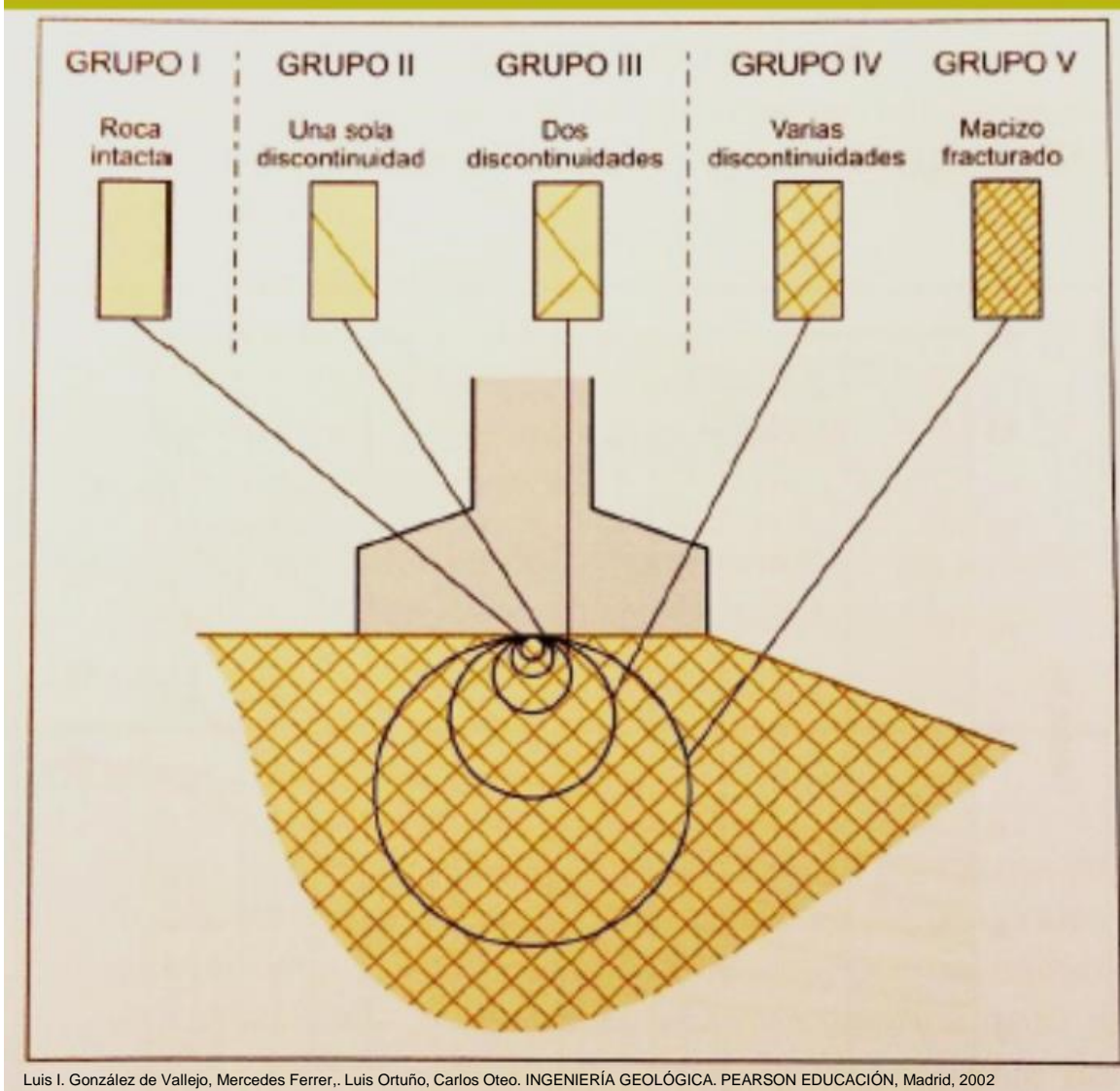
Propiedades mecánicas
controladas por:

- **Roca matriz:** litología, mineralogía, tamaño de grano, porosidad, microfisuras, alteración, meteorización, deformabilidad, resistencia, etc.
- **Discontinuidades:** tipo, orientación, espaciado, apertura, rellenos, alteración, etc.



Efecto de escala

Heterogeneidad y anisotropía del MR \leftrightarrow discontinuidades (estructura)
 \rightarrow efecto de escala: respuesta del MR a cargas depende del volumen afectado.



Grupo I: Roca \rightarrow propiedades de la roca matriz

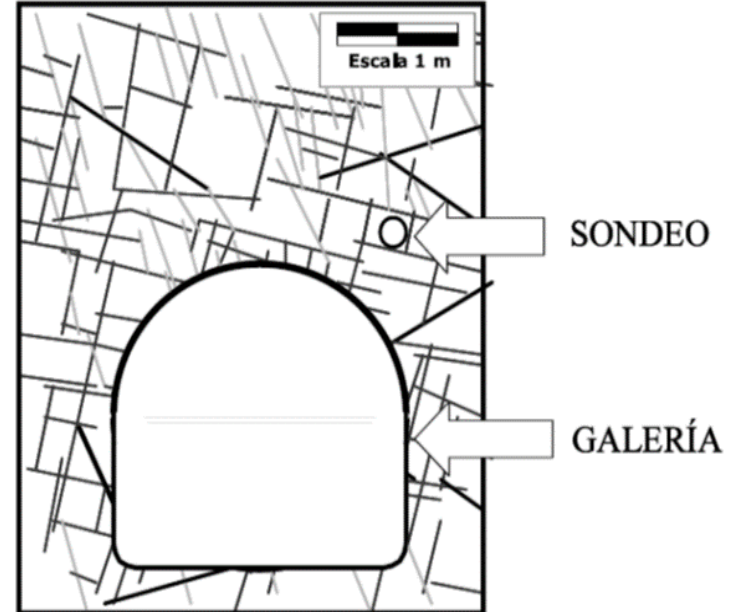
Grupo IV: Roca matriz + Discontinuidades

Enorme volumen de material heterogéneo \rightarrow propiedades de la roca y las discontinuidades.

Comportamiento del macizo rocoso depende de la escala de observación y del volumen involucrado.



2 escalas de trabajo: sondeo y galería

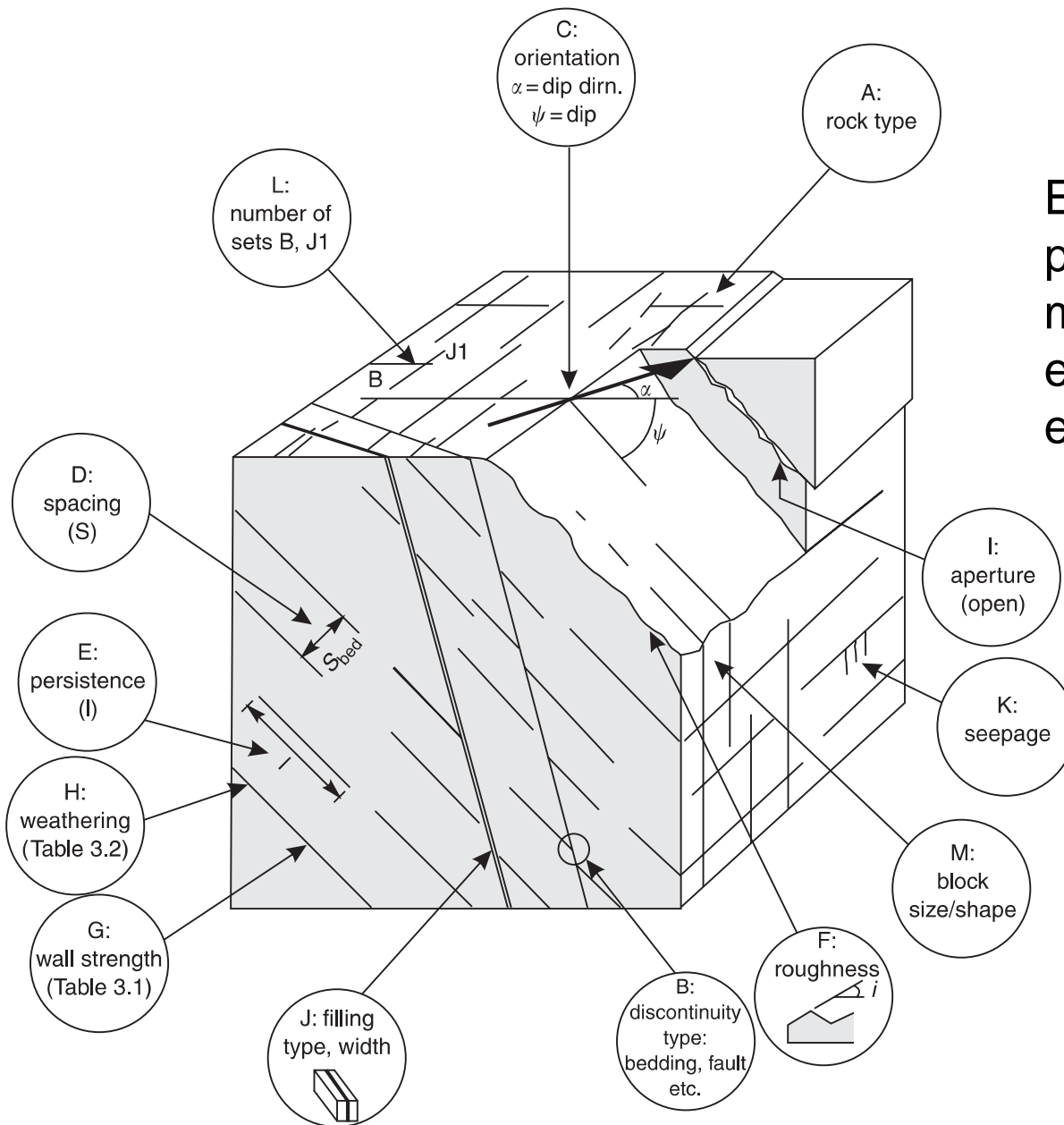


https://www.researchgate.net/publication/281459332_Mecanica_de_Rocas_Fundamentos_e_Ingenieria_de_Taludes



Sondeo ($\Phi = 6,3 \text{ cm}$) → propiedades roca intacta
Galería ($\text{sección} = 6,8 \text{ m}^2$) → propiedades discontinuidades

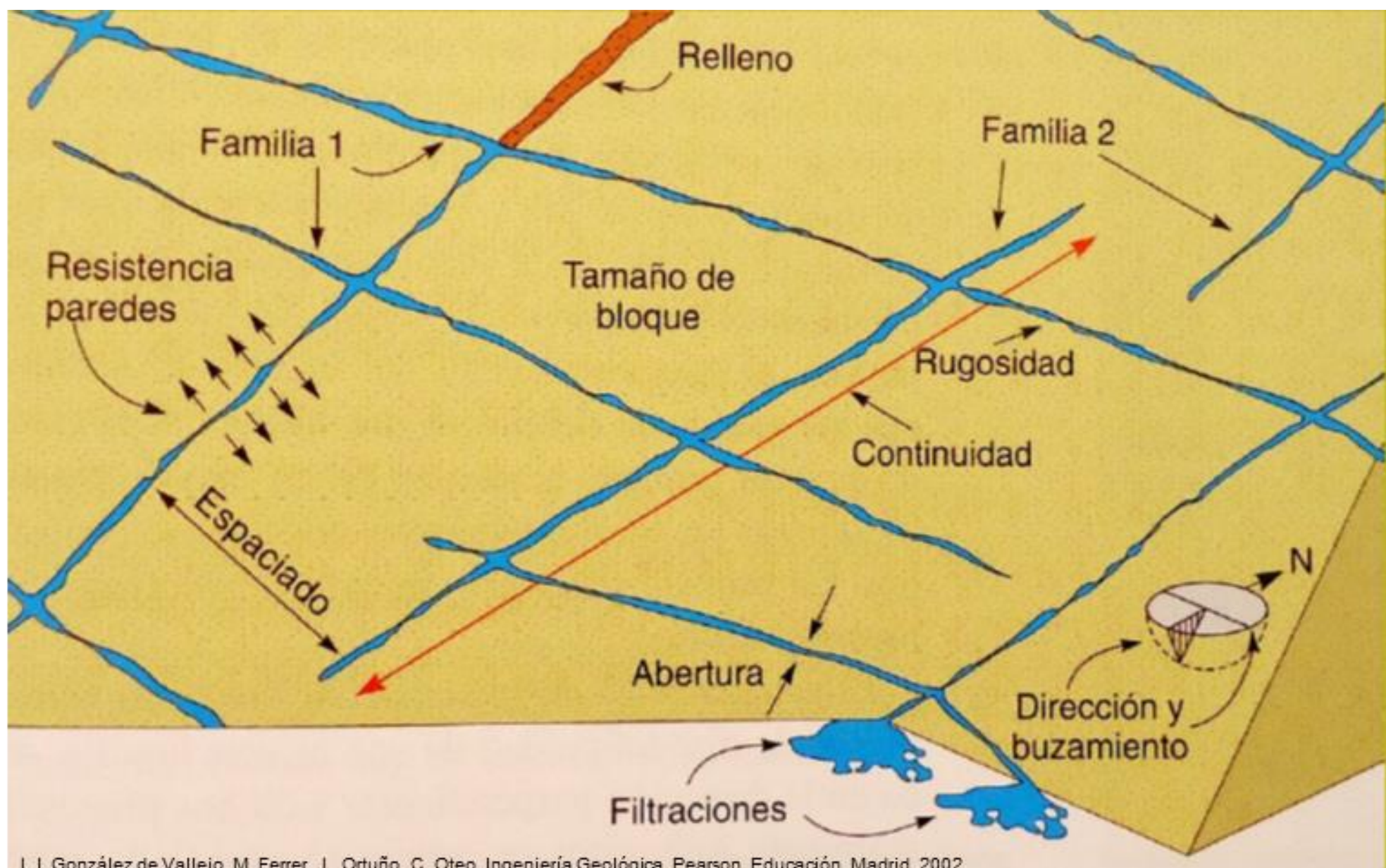
Variables que controlan el comportamiento mecánico de los MR



Estimación de las propiedades del MR ↔ roca matriz, discontinuidades, entorno geológico y su evolución.

Variables que controlan el comportamiento mecánico

- ✓ **Discontinuidades:** tipo, cantidad, número de familias, orientación, espaciado, abertura, persistencia, estado de la superficie de sus caras (rellenos, rugosidad, alteración), circulación de agua.
- Fracturas ↔ dimensiones de los bloques de roca intacta.**
- ✓ **Roca matriz (intacta):** tipo de roca, composición mineralógica, química, porosidad, permeabilidad, densidad, tamaño de granos, alteración, etc.
- ✓ **Otras:** historia geológica del área, estructura regional, estado tensional del MR (ambiente tectónico, sismicidad, vulcanismo, etc.), susceptibilidad de la roca a la meteorización, grado de alteración, etc.



L. I. González de Vallejo, M. Ferrer, L. Ortúñoz, C. Oteo. Ingeniería Geológica. Pearson, Educación. Madrid, 2002

- **Familia:** grupo de discontinuidades del mismo tipo aproximadamente paralelas.
- **Sistema:** intersección de 2 o más familias de discontinuidades.

Resistencia de macizos rocosos (MR)

R intacta + discontinuidades → medio heterogéneo y anisótropo.
Propiedades mecánicas del MR controladas por las propiedades
de la roca y las discontinuidades.

- 1) Medir la resistencia de la roca matriz.**
- 2) Estudiar las discontinuidades y determinar su resistencia.**



Estimación de la resistencia del MR.

- Criterios empíricos.
- Ensayos de laboratorio.
- Ensayos en campo.

Criterio de rotura de Hoek & Brown (1980, 2019)

- Mecánica de rocas: predecir la resistencia de una roca ante un campo de tensiones, se refiere a la resistencia de pico (ensayos de compresión triaxial).
- Diseño de excavaciones subterráneas en macizos rocosos de rocas competentes.
- **Estimación de la resistencia de MR.**
- **Criterio empírico** → estimar la rotura de un medio rocoso a partir de características geotécnicas y geológicas.
- Relación entre σ_1 y σ_3 al momento de la rotura.

$$\sigma_1 = \sigma_3 - \sigma_{ci} \left(s - m \frac{\sigma_3}{\sigma_{ci}} \right)^a$$

Hoek, E. & Brown, E.T. (1980). Underground Excavations in Rock. London Institution of Mining and Metallurgy, London, 527 p.

Hoek, E & Brown, E.T. (1980). Empirical strength criterion for rock masses. Journal of the Geotechnical Engineering Division;106(GT9), p.:1013-1035.
<https://www.rockscience.com/assets/resources/learning/hoek/Empirical-Strength-Criterion-for-Rock-Masses-1980.PDF>

Hoek, E. & Brown, E.T. (2018). The Hoek–Brown failure criterion and GSI – 2018 edition. Journal of Rock Mechanics and Geotechnical Engineering, Volume 11, Issue 3, 2019, p: 445-463: <https://doi.org/10.1016/j.jrmge.2018.08.001>

Parámetros de Hoek-Brown calibrados para roca matriz (σ_{ci} , m_i , s , a)

Relación entre σ_1 y σ_3 al momento de la rotura de la roca (ensayo de compresión triaxial)

$$\sigma_1 = \sigma_3 - \sigma_{ci} \left(s - m_i \frac{\sigma_3}{\sigma_{ci}} \right)^a$$

σ_{ci} : resistencia a la compresión simple de la roca.

s , a , m_i : constantes que dependen del tipo de roca.

σ_1 : E principal máximo.

σ_3 : E principal mínimo.

$$\sigma_1 = \sigma_3 - \sigma_{ci} \left(s - m_i \frac{\sigma_3}{\sigma_{ci}} \right)^a$$

σ_{ci} : resistencia a la compresión simple de la roca.

- Ensayos de laboratorio sobre muestras de roca sin fracturas.
- Tablas.

s : a partir de ensayos de resistencia a compresión simple ($\sigma_3 = 0 = \sigma_2$): $\sigma_1 = -\sigma_{ci}$

$$-\sigma_{ci} = 0 - \sigma_{ci} \left(s - m_i \frac{0}{\sigma_{ci}} \right)^a \rightarrow s = 1$$

Resistencia a compresión simple σ_{ci}

Tabla 1 : ESTIMACIÓN EN TERRENO DE LA RESISTENCIA EN COMPRESIÓN UNIAXIAL

Clase (a)	Calificación de la roca según su resistencia	Resistencia uniaxial (MPa)	Indice de carga puntual (MPa)	Estimación en terreno de la resistencia	Ejemplos
R6	Extremadamente Resistente	> 250	> 10	Golpes de martillo geológico sólo causan descostramientos superficiales en la roca.	Basalto fresco, chert, diabasa, gneiss, granito, cuarcita.
R5	Muy Resistente	100 – 250	4 – 10	Un trozo de roca requiere varios golpes de martillo geológico para fracturarse.	Anfibolita, arenisca, basalto, gabro, gneiss, granodiorita, caliza, mármol, riolita, toba.
R4	Resistente	50 – 100	2 – 4	Un trozo de roca requiere más de un golpe con el martillo geológico para fracturarse.	Caliza, mármol, filitas, arenisca, esquistos, pizarras.
R3	Moderadamente Resistente	25 – 50	1 – 2	Un trozo de roca puede fracturarse con un único golpe del martillo geológico, pero no es posible descostrar la roca con un cortaplumas.	Arcillolita, carbón, concreto, esquistos, pizarras, limolitas.
R2	Débil	5 – 25	(b)	Un golpe con la punta del martillo geológico deja una indentación superficial. La roca puede ser descostrada con una cortaplumas pero con dificultad.	Creta, sal mineral, potasio.
R1	Muy Débil	1 – 5		La roca se disgrega al ser golpeada con la punta del martillo geológico. La roca puede ser descostrada con un cortaplumas.	Roca muy alterada o muy meteorizada.
R0	Extremadamente Débil	0,25 – 1		La roca puede ser indentada con la uña del pulgar.	Salbanda arcillosa dura.

(a) Clases según Brown [2].

(b) Para rocas con una resistencia en compresión uniaxial menor que 25 MPa los resultados del ensayo de carga puntual son poco confiables.

m_i : Ensayos de resistencia a tracción triaxial ($\sigma_1 = \sigma_3 = c_p$).

c_p : resistencia de la roca intacta a la tracción.

Tablas: rangos de magnitud de **m_i** para diferentes rocas.

$$c_p = c_p - \sigma_{ci} \left(1 - m_i \frac{c_p}{\sigma_{ci}} \right)^a \rightarrow m_i = \frac{\sigma_{ci}}{c_p}$$

$a = 0,5$ para rocas (valor empírico: 0,48-0,52)

Parámetro m_i

Valores de m_i para roca intacta.
Los valores entre paréntesis son estimados. Rocas ensayadas perpendicularmente a la estratificación o foliación.

Wyllie D. C & Mah C. W. (2004). Rock Slope Engineering. Civil and mining. 4th Ed., Taylor & Francis e-Library, 2005:

https://civilengineering.files.wordpress.com/2014/10/rock_slope_engineering_civil_and_mining.pdf

$$m_i = \frac{\sigma_{ci}}{c_p}$$

Rock type	Class	Group	Texture			
			Coarse	Medium	Fine	Very fine
SEDIMENTARY	Clastic		Conglomerates (21±3)	Sandstones 17±4	Siltstones 7±2	Claystones 4±2
			Breccias (19±5)		Greywackes (18±3)	Shales (6±2)
	Non-Clastic	Carbonates	Crystalline Limestone (12±3)	Sparitic Limestones (10±2)	Micritic Limestones (9±2)	Dolomites (9±3)
		Evaporites		Gypsum 8±2	Anhydrite 12±2	
		Organic				Chalk 7±2
	METAMORPHIC	Non foliated	Marble 9±3	Hornfels (19±4)	Quartzites 20±3	
				Metasandstone (19±3)		
		Slightly foliated	Migmatite (29±3)	Amphibolites 26±6	Gneiss 28±5	
	Foliated*			Schists 12±3	Phyllites (7±3)	Slates 7±4
IGNEOUS	Plutonic	Light	Granite 32±3	Diorite 25±5		
				Granodiorite (29±3)		
		Dark	Gabbro 27±3	Dolerite (16±5)		
	Hypabyssal		Norite 20±5			
	Volcanic	Lava	Porphyries (20±5)		Diabase (15±5)	Peridotite (25±5)
				Rhyolite (25±5)	Dacite (25±3)	Obsidian (19±3)
		Pyroclastic	Andesite 25±5		Basalt (25±5)	
				Agglomerate (19±3)	Breccia (19±5)	Tuff (13±5)

Parámetros de Hoek-Brown (2002) calibrados para macizos rocosos (m_b , GSI, D)

Escala de la roca → escala de macizo rocoso: modificaciones en los parámetros m y s.

$$\sigma_{1MR} = \sigma_3 - \sigma_{ci} \left(s - m_b \frac{\sigma_3}{\sigma_{ci}} \right)^a$$

Resistencia del MR (σ_{1MR}) ↔ resistencia a compresión simple ($\sigma_3 = 0 = \sigma_2$)

$$\sigma_{1MR} = \sigma_{ci} \cdot s^a$$

σ_{ci} : determinada sobre muestras inalteradas de roca intacta.

m_b depende de:

- Resistencia de la **roca** $\leftrightarrow m_i$
- **Discontinuidades**: índice **GSI** y factor **D**.

GSI: índice de resistencia geológica.

D: factor de alteración \leftrightarrow grado de perturbación por efecto de excavación.

$$m_b = m_i e^{\frac{GSI-100}{28-14D}}$$

$s \leq 1 \leftrightarrow$ valor máximo GSI es 100 $\rightarrow s = e^0 = 1$

$$s = e^{\frac{GSI-100}{9-3D}}$$

$a = 0,5$ (valor empírico: 0,48-0,52)

Factor de alteración (D)

D: Factor de alteración

Depende del grado de perturbación del MR por efecto de la excavación y relajación de tensiones.

D se aplica sólo a la zona dañada por la excavación.

Se estima por **observación *in situ*** → valor determinado por tablas.

Varía de 0 para macizos rocosos poco o nada perturbados a 1 para macizos muy alterados.

Apariencia del macizo rocoso	Descripción del macizo rocoso	Valor D sugerido
	Excelente calidad de voladura controlada o excavación con tuneladora, TBM, con resultados de alteración mínima del macizo rocoso confinado circundante al túnel.	D=0
	Excavación mecánica o manual en macizos rocosos de mala calidad (sin voladuras) con una alteración mínima en el macizo circundante. Cuando aparezcan problemas de deformación en el piso durante el avance, la alteración puede ser severa a menos que se coloquen una contrabóveda temporal, tal como se muestra en la figura.	D=0 D=0.5 No invert
	Voladura de muy mala calidad en un túnel en roca competente con daños locales severos, extendiéndose 2 o 3m en el macizo rocoso circundante.	D=0.8
	Pequeñas voladuras en taludes de ingeniería civil dan lugar a pequeños daños al macizo rocoso, particularmente si se usan voladuras de contorno como se muestra en el lado izquierdo de la fotografía. Sin embargo la liberación de tensión resulta en alguna alteración.	D=0.7 Good blasting D=1.0 Poor blasting
	Los taludes en las grandes minas a cielo abierto sufren alteraciones significativas debido a las grandes voladuras de producción y también debido a la relajación de tensiones al retirar el estéril de recubrimiento. En algunas rocas blandas la excavación puede llevarse a cabo mediante el ripado y empuje con tractores de orugas y el grado de afectación a los taludes será menor.	D=1.0 Production blasting D=0.7 Mechanical excavation

Indice GSI (Geological Strength Index)

Marinos & Hoek (2000); Hoek & Brown (2002 y 2019).

- **Parámetro** que se usa para caracterizar al **macizo rocoso** a partir de estudios detallados *in situ*. Etapa exploratoria.
- Factores que controlan las propiedades mecánicas del MR: estructura del MR y características de las discontinuidades.
- Estimación de:
 - Propiedades geomecánicas del MR a partir de observaciones *in situ*.
 - Valores de resistencia del MR frente a diferentes condiciones geológicas: m_b , s y a (criterio de rotura de Hoek & Brown).
 - Índice de la calidad del MR.

P. Marinos, E. Hoek. (2000). GSI – a geologically friendly tool for rock mass strength. Proceedings GeoEng 2000, International conference on geotechnical and geological engineering, Technomic Publishing Co., Melbourne, Australia, Lancaster, PA (2000), pp. 1422-1440.

<https://www.rockscience.com/assets/resources/learning/hoek/2000-GSI-A-Geologically-Friendly-Tool-for-Rock-Mass-Strength-Estimation.pdf>

E. Hoek, E.T. Brown (2018). The Hoek–Brown failure criterion and GSI – 2018 edition. Journal of Rock Mechanics and Geotechnical Engineering, Volume 11, Issue 3, 2019, p: 445-463: <https://doi.org/10.1016/j.jrmge.2018.08.001>

Hoek, E & Carranza-Torres, C. & Corkum, Brent & Hoek, Evert & Carranza-Torres, Carlos. (2002). Hoek-Brown failure criterion - 2002 Edition: https://www.researchgate.net/publication/282250802_Hoek-Brown_failure_criterion_-_2002_Edition

CARACTERISTICAS DEL MACIZO ROCOSO PARA EVALUAR SU RESISTENCIA

Basándose en la apariencia del afloramiento de roca, escoja la categoría que, según su criterio, mejor describe la condición "típica" del macizo rocoso *in situ* en condición no perturbada. Note que superficies expuestas de roca que han sido generadas por tronadura pueden dar una impresión errónea de la calidad de la roca subyacente. Puede ser necesario considerar algún ajuste por tronadura, y un examen de testigos de sondajes y/o superficies definidas con precoret o tronaduras amortiguadas puede ayudar en la definición de este ajuste. Es también importante entender que el criterio de Hoek-Brown solo debe aplicarse a macizos rocosos en que el tamaño del bloque "típico" es pequeño con respecto al tamaño de la excavación considerada.

ESTRUCTURA DEL MACIZO ROCOSO



FRACTURADO EN BLOQUES (BLOCKY)

MACIZO ROCOSO CONFORMADO POR TROZOS O BLOQUES DE ROCA BIEN TRABADOS, DE FORMA CÚBICA Y DEFINIDOS POR TRES SETS DE ESTRUCTURAS, ORTOGONALES ENTRE SÍ.



FUERTEMENTE FRACTURADO EN BLOQUES (VERY BLOCKY)

MACIZO ROCOSO ALGO PERTURBADO, CONFORMADO POR TROZOS O BLOQUES DE ROCA TRABADOS, DE VARIAS CARAS, ANGULOSOS Y DEFINIDOS POR CUATRO O MAS SETS DE ESTRUCTURAS.



FRACTURADO Y PERTURBADO (BLOCKY / DISTURBED)

MACIZO ROCOSO PLEGADO Y/O AFECTADO POR FALLAS, CONFORMADO POR TROZOS O BLOQUES DE ROCA DE VARIAS CARAS, ANGULOSOS Y DEFINIDOS POR LA INTERSECCIÓN DE NUMEROSOS SETS DE ESTRUCTURAS.



DESINTEGRADO (DISINTEGRATED)

MACIZO ROCOSO MUY FRACTURADO Y QUEBRADO, CONFORMADO POR UN CONJUNTO POBREMENTE TRABADO DE BLOQUES Y TROZOS DE ROCA, ANGULOSOS Y TAMBIÉN REDONDEADOS.

CONDICION DE LAS DISCONTINUIDADES

MUY BUENA
Superficies rugosas y de cajas frescas (sin señales de intemperización ni de alteración)

BUENA
Superficies rugosas, cajas levemente intemperizadas y/o alteradas, con pátinas de óxido de hierro

REGULAR
Superficie lisa o cajas moderadamente intemperizadas y/o alteradas

MALA
Superficie lisa y diazadas, cajas intemperizadas y/o alteradas, con rellenos de fragmentos granulares y/o arcillosos firmes

EMPEORA LA CONDICION DE LAS DISCONTINUIDADES



DISMINUYE LA TRABAZOÑ DE LOS BLOQUES DE ROCA

FB/MB	FB/B	FB/R	FB/M	FB/MM
-------	------	------	------	-------

FF/MB	FF/B	FF/R	FF/M	FF/MM
-------	------	------	------	-------

FP/MB	FP/B	FP/R	FP/M	FP/MM
-------	------	------	------	-------

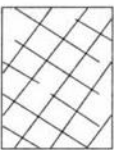
D/MB	D/B	D/R	D/M	D/MM
------	-----	-----	-----	------

INDICE GEOLOGICO DE RESISTENCIA

De los códigos de letra que describen la estructura del macizo rocoso y la condición de las discontinuidades (en Tabla 4), seleccione el cuadro apropiado en esta tabla. Estime el valor típico del Índice Geológico de Resistencia, **GSI**, de los contornos que muestra la tabla. No trate de obtener un mayor grado de precisión. Indicar un rango de valores para **GSI**, por ejemplo de 36 a 42, es más realista que indicar un único valor, por ejemplo 38.

https://www.u-cursos.cl/ingenieria/2007/2/MI46B/1/material_documento/bajar%3Fid_material%3D143138

ESTRUCTURA DEL MACIZO ROCOSO



FRACTURADO EN BLOQUES (BLOCKY)

MACIZO ROCOSO CONFORMADO POR TROZOS O BLOQUES DE ROCA BIEN TRABADOS, DE FORMA CÚBICA Y DEFINIDOS POR TRES SETS DE ESTRUCTURAS, ORTOGONALES ENTRE SÍ.



FUERTEMENTE FRACTURADO EN BLOQUES (VERY BLOCKY)

MACIZO ROCOSO ALGO PERTURBADO, CONFORMADO POR TROZOS O BLOQUES DE ROCA TRABADOS, DE VARIAS CARAS, ANGULOSOS Y DEFINIDOS POR CUATRO O MAS SETS DE ESTRUCTURAS.



FRACTURADO Y PERTURBADO (BLOCKY / DISTURBED)

MACIZO ROCOSO PLEGADO Y/O AFECTADO POR FALLAS, CONFORMADO POR TROZOS O BLOQUES DE ROCA DE VARIAS CARAS, ANGULOSOS Y DEFINIDOS POR LA INTERSECCIÓN DE NUMEROSOS SETS DE ESTRUCTURAS.



DESINTEGRADO (DISINTEGRATED)

MACIZO ROCOSO MUY FRACTURADO Y QUEBRADO, CONFORMADO POR UN CONJUNTO POBREMENTE TRABADO DE BLOQUES Y TROZOS DE ROCA, ANGULOSOS Y TAMBIÉN REDONDEADOS.

CONDICION DE LAS DISCONTINUIDADES

MUY BUENA
Superficies rugosas y de cajas frescas (sin señales de intemperización ni de alteración)

BUENA
Superficies rugosas, cajas levemente intemperizadas y/o alteradas, con pátinas de óxido de hierro

REGULAR
Superficies lisas, cajas moderadamente intemperizadas y/o alteradas

MALA
Superficies lisas y diazadas, cajas intemperizadas y/o alteradas, con rellenos de fragmentos granulares y/o arcillosos firmes

MUY MALA
Superficies lisas, cajas intemperizadas, cajas intemperizadas y/o alteradas, con rellenos arcillosos blandos

Indice GSI

Macizos rocosos distintos
pueden tener el mismo
GSI y resistencias distintas.

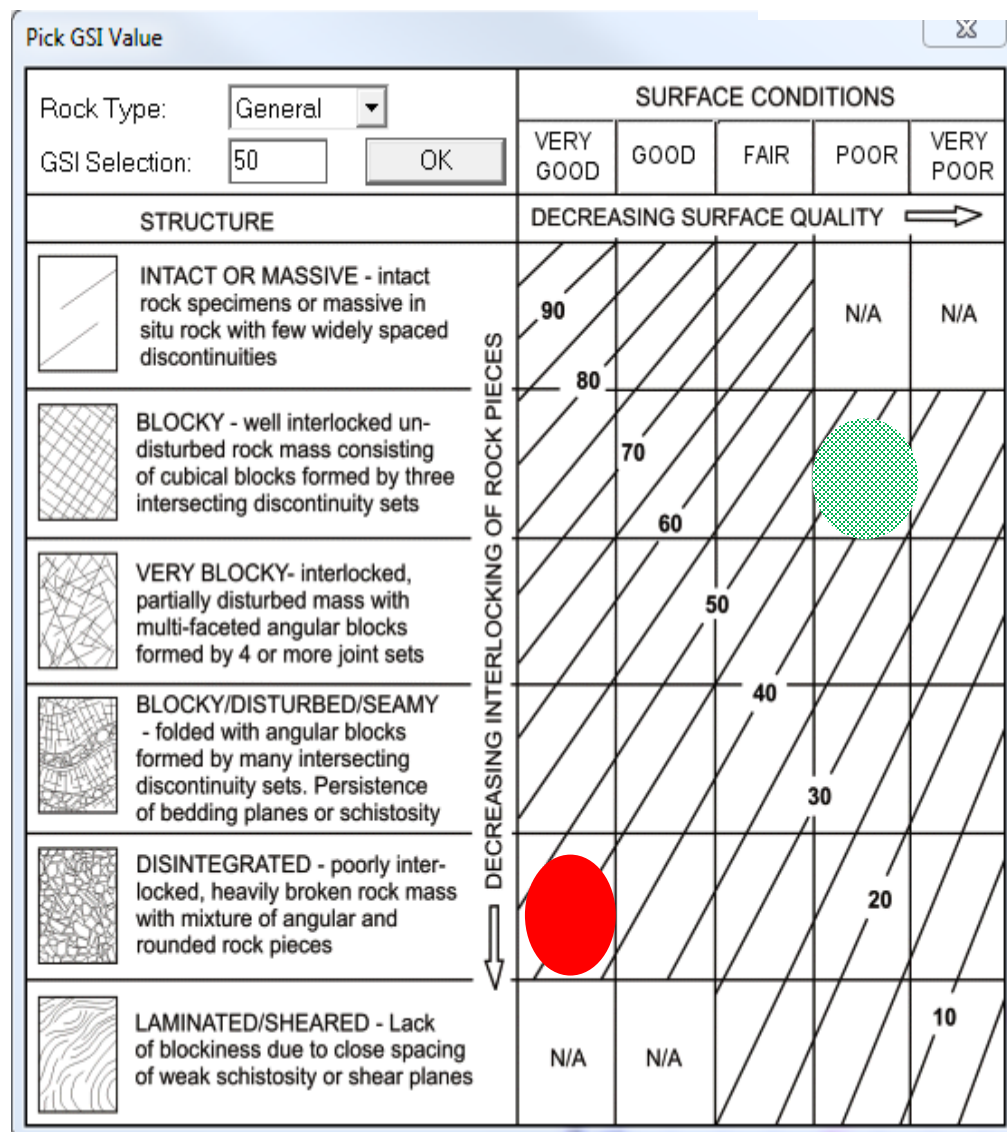
MR1 muy fracturado, desintegrado con
paredes de fracturas en muy buen
estado (rugosas y limpias): GSI ~ 40-50

MR2 fracturado en bloques, fracturas con
superficies lisas y alteradas (malas): GSI
~ 40-50.

Estimación de resistencia y deformación
de MR: ensayos de laboratorio sobre
muestras de roca sana + sistemas de
clasificación (GSI, RMR, Q, ...)

Criterio de Hoek-Brown funciona porque
está muy bien calibrado con gran
cantidad de datos empíricos y de campo,
y buenos modelos geológicos de los
sitios.

Resultados estimativos.



Roca matriz: ensayos de resistencia

Resistencia a compresión simple σ_c : $\sigma_1 \neq 0$; $\sigma_2 = \sigma_3 = 0$

Misma técnica probetas de hormigón.

Probetas de roca cilíndricas, $\Phi > 50$ mm, $h \sim 2,5 \Phi$, sin discontinuidades, caras planas y lisas → difícil tallar probetas adecuadas a partir de materiales obtenidos en afloramientos o pozos de sondeo.

Ensayo de carga puntual (Franklin)

Muestra de roca de cualquier forma, $\Phi \geq 50$ mm o

$$\text{factor de corrección } F = \left(\frac{De}{50} \right)$$

Fragmento irregular sometido a compresión entre 2 puntas cónicas de acero: $I_s = \frac{P}{De^2}$

I_s : índice de carga puntual

$$I_s = \frac{I_{s(50)}}{F}$$

P : carga de rotura (MPa)

De : diámetro equivalente de la muestra (mm)

Correlaciona con σ_c : $\sigma_c \cong 24 I_{s(50)}$



Resistencia a la tracción

- **Ensayo brasileño de compresión diametral**

Compresión vertical s/disco de roca ($\Phi \sim L$)

Rotura \leftrightarrow tensiones de tracción generadas en sentido \perp a la fuerza de compresión actuante.

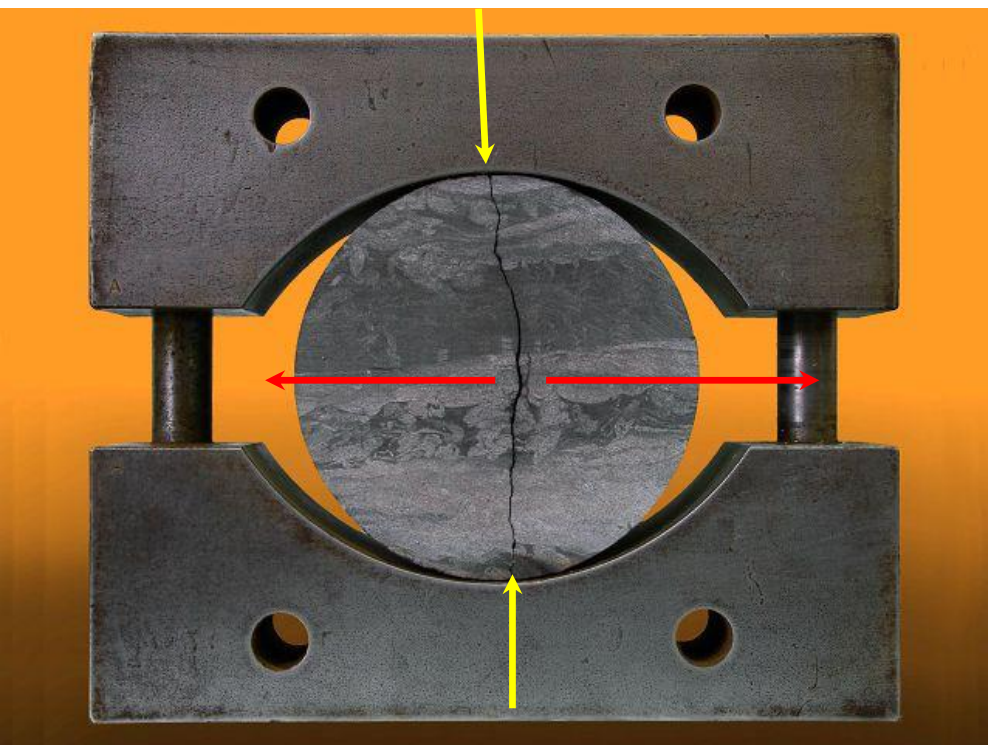
Al momento de la rotura se calcula la resistencia a la tracción:

$$\sigma_t = \frac{2P}{\pi LD}$$

P : carga compresiva de rotura (MPa)

L : espesor del disco

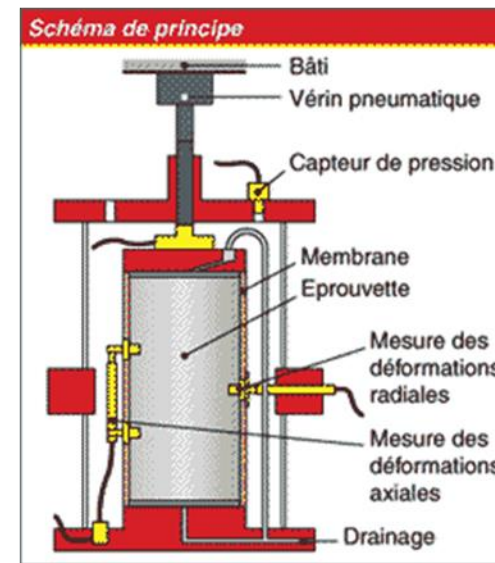
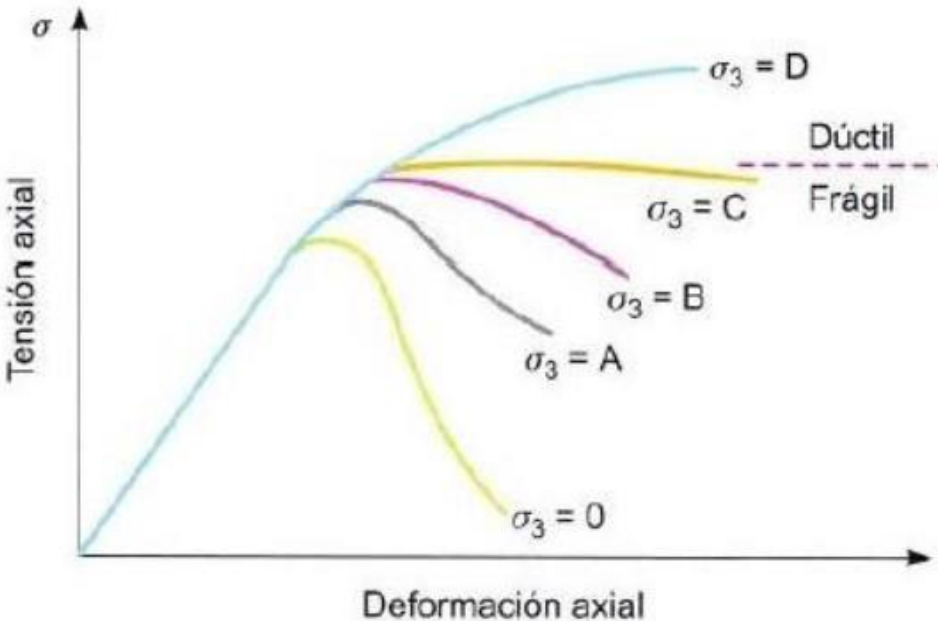
D : diámetro del disco



Roca matriz: ensayos triaxiales

$$\sigma_1 > \sigma_2 = \sigma_3 \neq 0$$

- Representa las condiciones de la roca *in situ*, confinamiento.
- Rocas duras: la resistencia de pico varía según P confinante (σ_3)
- A mayor σ_3 mayor resistencia de pico.
- Transición frágil-dúctil $\sim \sigma_1 > 3,5 \sigma_3$



<http://www.estudiosgeotecnicos.info/index.php/ensayos-de-laboratorio-resistencia-de-los-suelos-3-ensayo-triaxial/>

Resistencia del MR

Correlación entre las propiedades mecánicas de la roca matriz y las del macizo rocoso a partir de:

- Ensayos de resistencia sobre muestras de roca intacta *in situ* y en laboratorio.
- Datos experimentales.
- Índices de clasificación de macizos rocosos (GSI, Q, RMR, etc.)

Valores estimados de GSI, Q, RMR permiten estimar la resistencia a la compresión del macizo rocoso en función de σ_c de la roca matriz.

Discontinuidades

- Orientación: rumbo, buzamiento
- Frecuencia
- Continuidad
- Apertura
- Puentes roca
- Fricción
- Rugosidad
- Rellenos
- Presencia de agua
- **Resistencia al corte**



https://www.flickr.com/photos/banco_imagenes_geologicas/5023300089/in/album-72157625031979374/



https://www.flickr.com/photos/banco_imagenes_geologicas/5023538705/in/album-72157624907827319/

Resistencia al corte

Controla el comportamiento mecánico de las discontinuidades en la naturaleza.

Parámetros que condicionan la resistencia al corte:

- Rugosidad de las paredes.
- Fricción.
- Grado de alteración.
- Puentes de roca.
- Rellenos.
- Presencia de agua y grado de saturación del relleno.



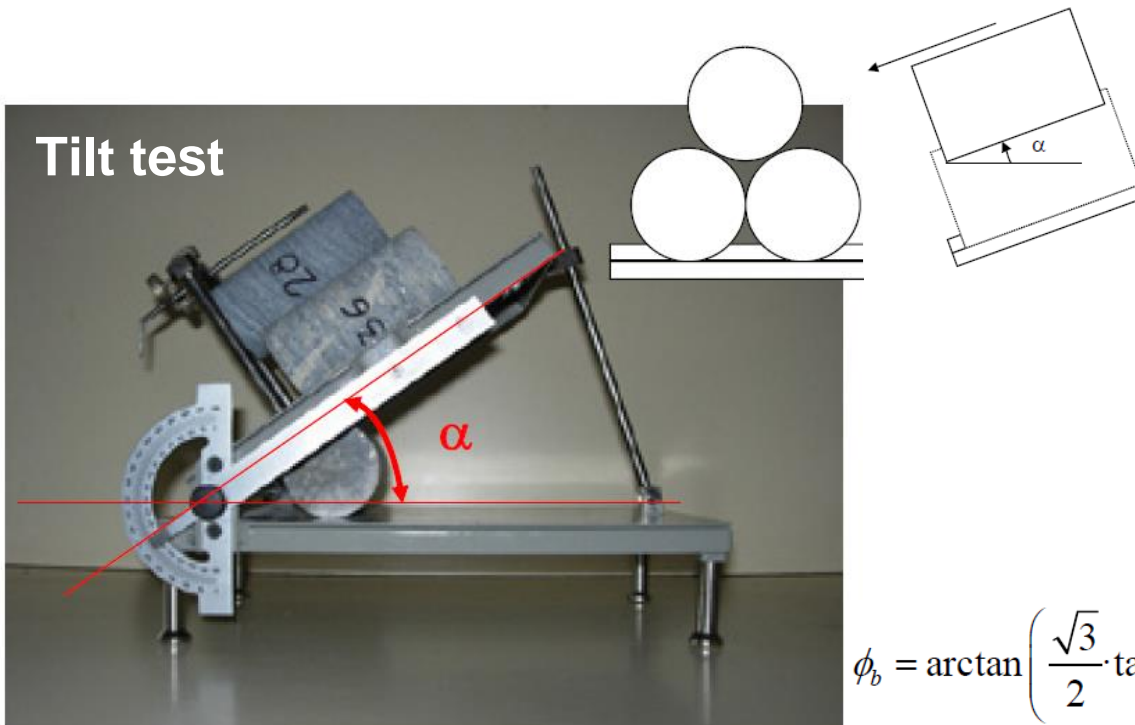
https://www.researchgate.net/publication/322715550_Tema_3 - Propiedades_mecanicas_de_las_discontinuidades

Ensayos de laboratorio, en campo y criterios empíricos.

Discontinuidades. Resistencia al corte.

Ensayo de corte directo y Ensayo de inclinación (Tilt test):

- Cohesión (**c**)
- Ángulo de fricción básico (ϕ_b) de la discontinuidad → factor de corrección por rugosidad: ángulo de fricción residual (ϕ_r). El factor de rugosidad depende de la escala y se obtiene por estimaciones visuales *in situ*.



Resistencia al corte de discontinuidades (τ).

Criterio de Barton-Bandis (Barton y Choubey, 1977)

Discontinuidades naturales: rugosas, irregulares, pueden estar llenas, alteradas.

Barton *et al.* (1970-1990): estudio del comportamiento de discontinuidades rugosas naturales sin relleno y cálculo de $\tau_p \rightarrow$ **Criterio de Barton-Bandis.**

$$\tau = \sigma_n \cdot \tan \left[\phi_r + JRC_n \cdot \log \left[\frac{JCS_n}{\sigma_n} \right] \right]$$

Parámetros

- ϕ_r : ángulo de fricción residual entre las paredes de la discontinuidad.
Estimación a partir de **ensayos *in situ*** (esclerómetro) sobre roca intacta o de **tablas**.
- JCS_n : resistencia a la compresión simple de las paredes de la discontinuidad.
Estimación en campo (esclerómetro) o laboratorio.
- JRC_n : índice de rugosidad normalizado. Observaciones en campo + tablas.

Sistemas de clasificación de macizos rocosos

- Evaluar las características geomecánicas de los macizos rocosos y realizar una estimación cuantitativa de su calidad → estimación preliminar del comportamiento mecánico.
- Conocimiento del contexto geológico.
- Base empírica.
- Análisis retrospectivos.
- **ASTM D5878-19**

Standard Guides for Using Rock-Mass Classification Systems for Engineering Purposes.

<https://www.astm.org/d5878-19.html>

Indice RQD (Deere, 1967, 1989)

Parámetro de entrada para otras clasificaciones.

Etapa exploratoria del sitio. Testigos de perforaciones o pozos de sondeo.



$$R(\%) = \frac{\sum L_i}{L_c}$$

R: recuperación porcentual del testigo.

L_i : longitud de todos los fragmentos de roca recuperados.

L_c : longitud de la carrera (longitud de avance del saca-testigos: 1m, 2m, 5m, ...)

$$RQD = \frac{\sum_{L>10cm} L_i}{L_c}$$

L_i : longitud de los fragmentos de roca intacta >10 cm.

Índice del grado de fracturación de un MR.

Recuperación del testigo (R) y RQD (Deere, 1967, 1989)

$$R = \frac{\sum L_i}{L_c}$$

$$\sum L_i = 85 \text{ cm } (40+1+2+2+30+5+5)$$

$$L_c = 100 \text{ cm}$$

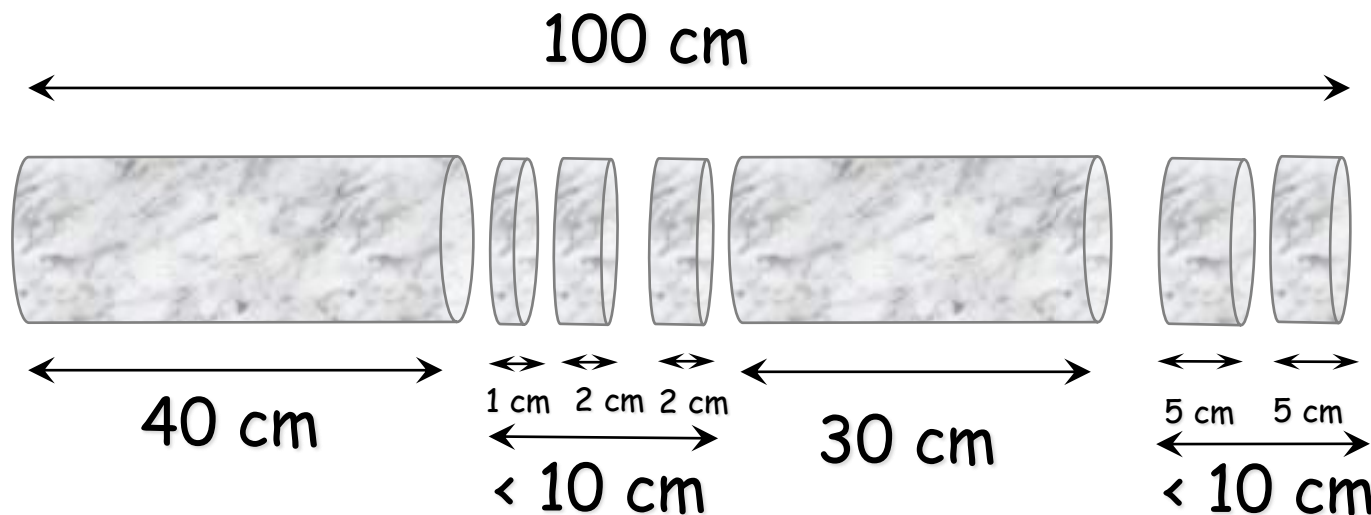
$$R = 0,85 \rightarrow R (\%) = 85\%$$

$$RQD = \frac{\sum_{L>10cm} L_i}{L_c}$$

$$\sum_{L_i > 10\text{cm}} L_i = 70 \text{ cm } (40+30)$$

$$L_c = 100 \text{ cm}$$

$$RQD = 0,70 \rightarrow RQD (\%) = 70\%$$



$$RQD = \frac{\sum L_i RQD}{L_c}$$

Roca Fresca I



Levemente
Meteorizada II



Moderadamente
Meteorizada III



Muy Meteorizada IV



Completamente
Meteorizada V



Suelo Residual VI



https://www.u-cursos.cl/ingenieria/2011/2/GL5201/1/material_docente/bajar?id=391885

L_{iRQD} : longitud de los fragmentos de roca intacta >10 cm. No se consideran: roca muy meteorizada (IV), completamente meteorizada (V) y suelo residual (VI).

L_c : longitud de la carrera (longitud de avance del saca-testigos)

Proporción de roca "buena" (competente), **fresca (I)** o de leve (**II**) a moderadamente (**III**) **meteorizada**, que se recupera en cada tramo de la perforación.

RQD (%)	Calidad del macizo rocoso
< 25	Muy mala
25 – 50	Mala
50 -75	Regular
75 – 90	Buena
90 - 100	Excelente

Fracturas naturales entre fragmentos de roca >10 cm.

Fragmentos de rocas sólidas y duras.

No se consideran: las fracturas paralelas a la perforación ni las producidas por la herramienta.

A mayor RQD, mejor calidad y menor **grado de fracturación del MR.**

Deere, D.U. and Miller, D.W. (1967) The Rock Quality Designation (RQD) Index in Practice, Classification Systems for Engineering Purposes. ASTM STP, American Society for Testing and Materials, Philadelphia, PA, 91-101: <https://doi.org/10.1520/STP48465S>

Deere, D.U. 1989. Rock quality designation (RQD) after 20 years. U.S. Army Corps Engrs Contract Report GL-89-1. Vicksburg, MS: Waterways Experimental Station: <https://usace.contentdm.oclc.org/digital/collection/p266001coll1/id/6945/>

Rock Tunnelling Quality Index (Indice Q)

(Barton, Lien y Lunde, 1974)

Desarrollado para el diseño de túneles en rocas competentes

$$Q = \frac{RQD}{J_n} \frac{J_r}{J_a} \frac{J_w}{SRF}$$

Parámetros considerados:

RQD (grado de fracturación del macizo rocoso)

J_n (cantidad de familias)
 J_r (rugosidad de paredes)
 J_a (alteración de paredes)
 J_w (presencia de agua)

SRF (estado tensional del macizo rocoso ↔ confinamiento)

Discontinuidades

Barton, N., Lien, R. and Lunde, J. (1974) Engineering Classification of Rock Masses for the Design of Tunnel Support. Rock Mechanics, 6, 189-236.

<https://doi.org/10.1007/BF01239496>

NGI (2022) Using the Q-System—Rock Mass Classification and Support Design. NGI Publication, Oslo, 56 p.: https://www.ngi.no/globalassets/bilder/forskning-og-radgivning/bygg-og-anlegg/handbook-the-q-system-may-2015-nettutg_update-june-2022.pdf

$$Q = \frac{RQD}{J_n} \frac{J_r}{J_a} \frac{J_w}{SRF}$$

$$\frac{RQD}{J_n}$$

Estructura del macizo rocoso → medida relativa del **tamaño de bloques de roca intacta**.

$$\frac{J_r}{J_a}$$

Resistencia al corte de las discontinuidades ↔ fricción entre bloques, rugosidad, rellenos.

$$\frac{J_w}{SRF}$$

Estado tensional del MR ↔ acción de los esfuerzos tectónicos sobre el macizo (SRF) y presión de agua (J_w).

RQD (%)	Calidad del macizo rocoso
< 25	Muy mala
25 – 50	Mala
50 -75	Regular
75 – 90	Buena
90 - 100	Excelente

$$Q = \frac{RQD}{J_n} \frac{J_r}{J_a} \frac{J_w}{SRF}$$

J_n : Índice de familias de discontinuidades

DESCRIPCIÓN	J_n
- Roca masiva	0,5-1
- Una familia de diaclasas	2
- Una familia y algunas juntas ocasionales	3
- Dos familias	4
- Dos familias y algunas juntas	6
- Tres familias	9
- Tres familias y algunas juntas	12
- Cuatro o más familias, roca muy fracturada, "terrones de azúcar", etc.	15
- Roca triturada terrosa	20
En boquillas, se utiliza 2 J_n y en intersecciones de túneles 3 J_n	

J_r : índice de rugosidad de las discontinuidades

$$Q = \frac{RQD}{J_n} \frac{J_r}{J_a} \frac{J_w}{SRF}$$

DESCRIPCIÓN	J_r
* Contacto entre las dos caras de la junta mediante un desplazamiento cortante de menos de 10 cm	
- Juntas discontinuas	4
- Junta rugosa o irregular ondulada	3
- Suave ondulada	2
- Espejo de falla, ondulada	1,5
- Rugosa o irregular, plana	1,5
- Suave plana	1
- Espejo de falla, plana	0,5
* No existe contacto entre las dos caras de la junta cuando ambas se desplazan lateralmente	J_r
- Zona conteniendo minerales arcillosos, suficientemente gruesa para impedir el contacto entre las caras de la junta	1
- Arenas, gravas o zona fallada suficientemente gruesa para impedir el contacto entre las dos caras de la junta	1
NOTA: Si el espaciado de la familia de juntas es mayor de 3 m hay que aumentar el J_r en una unidad.	
Para juntas planas con espejo de falla provisto de lineaciones, si éstas están orientadas en la dirección de mínima resistencia, se puede usar $J_r=0,5$	

DESCRIPCIÓN	J_a	φ'_r
* Contacto entre las dos caras de la junta.		
- Junta sellada dura, sin reblandecimiento, impermeable, p.ej. cuarzo, paredes sanas.	0,75	25-30
- Caras de la junta únicamente manchadas.	1	
- Las caras de la junta están alteradas ligeramente y contienen minerales no reblandecibles, partículas de arena, roca desintegrada libre de arcilla, etc.	2	25-30
- Recubrimiento de limo o arena arcillosa, pequeña fracción arcillosa no reblandecible.	3	20-25
- Recubrimiento de minerales arcillosos blandos o de baja fricción, p.ej. caolinita, mica, clorita, talco, yeso, grafito, etc. y pequeñas cantidades de arcillas expansivas. Los recubrimientos son discontinuos con espesores máximos de 1 ó 2 mm.	4	8-16
*Contacto entre las dos caras de la junta con menos de 10 cm de desplazamiento.	J_a	φ'_r
- Partículas de arena, roca desintegrada libre de arcilla.	4	25-30
- Rellenos de minerales arcillosos no reblandecidos, fuertemente sobreconsolidados. Los recubrimientos son continuos de menos de 5 mm de espesor.	6	16-24
- Sobreconsolidación media o baja, reblandecimiento; rellenos de minerales arcillosos. Los recubrimientos son continuos de menos de 5 mm de espesor.	8	12-16
- Rellenos de arcillas expansivas, p.ej. montmorillonita, de espesor continuo de 5 mm. El valor J_a depende del porcentaje de partículas del tamaño de la arcilla expansiva.	8-12	6-12
* No existe contacto entre las dos caras de la junta cuando ésta ha sufrido un desplazamiento cortante.	J_a	φ'_r
- Zonas o bandas de roca desintegrada o roca machacada y arcilla.	6-8 u 8-12	6-24 " "
- Zonas blandas de arcilla limpia o arenosa con pequeña fracción de arcilla, sin reblandecimiento.	5	6-24
- Milonitos arcillosos gruesos	10-13 ó 13-20	6-24 " "

J_a : índice de alteración de las discontinuidades

$$Q = \frac{RQD}{J_n} \frac{J_r}{J_a} \frac{J_w}{SRF}$$

J_w : índice de P de agua en discontinuidades.

$$Q = \frac{RQD}{J_n} \frac{J_r}{J_a} \frac{J_w}{SRF}$$

DESCRIPCIÓN	J_w	Presión agua kg/cm ²
- Excavaciones secas o de fluencia poco importante, p.ej. menos de 5 l/min localmente.	1	<1
- Fluencia o presión medias, ocasional lavado de los rellenos de las juntas.	0,66	1-2,5
- Fluencia grande o presión alta; considerable lavado de los rellenos de las juntas.	0,33*	2,5-10
- Fluencia o presión de agua excepcionalmente altas al dar las pegas, decayendo con el tiempo.	0,1-0,2*	>10
- Fluencia o presión de agua excepcionalmente altas y continuas, sin disminución.	0,05-0,1*	>10
Los valores presentados con el signo * son sólo valores estimativos. Si se instalan elementos de drenaje, hay que aumentar J_w . Los problemas causados por la formación de hielo no se consideran.		

DESCRIPCIÓN			
1. Zonas débiles que intersectan la excavación y pueden causar caídas de bloques, según avanza la misma.		SRF	
A Varias zonas débiles conteniendo arcilla o roca desintegrada químicamente, roca muy suelta alrededor (cualquier profundidad).		10	
B Sólo una zona débil conteniendo arcilla o roca desintegrada químicamente (profundidad de excavación menor de 50 m).		5	
C Sólo una zona débil conteniendo arcilla o roca desintegrada químicamente (profundidad de excavación mayor de 50 m).		2,5	
D Varias zonas de fractura en roca competente (libre de arcilla), roca suelta alrededor (cualquier profundidad).		7,5	
E Sólo una zona fracturada en roca competente (libre de arcilla), (profundidad de excavación menor de 50 m).		5	
F Sólo una zona fracturada en roca competente (libre de arcilla), (profundidad mayor de 50 m).		2,5	
G Juntas abiertas sueltas, muy fracturadas, etc. (cualquier profundidad).		5	
2. Rocas competentes, problemas de tensiones en las rocas.	σ_c/σ_1	σ_t/σ_1	SRF
H Tensiones pequeñas cerca de la superficie.	>200	>13	2,5
J Tensiones medias.	200-10	13-0,66	1,0
K Tensiones altas, estructura muy compacta (normalmente favorable para la estabilidad, puede ser desfavorable para la estabilidad de los hastiales).	10-5	0,66-0,33	0,5-2,0
L Explosión de roca suave (roca masiva).	5-2,5	0,33-0,16	5-10
M Explosión de roca fuerte (roca masiva).	<2,5	<0,16	10-20
σ_c y σ_t son las resistencias a compresión y tracción, respectivamente, de la roca; σ_1 es la tensión principal máxima que actúa sobre la roca.			
3. Roca fluyente, flujo plástico de roca incompetente bajo la influencia de altas presiones litostáticas.		SRF	
N Presión de flujo suave.		5-10	
O Presión de flujo intensa.		10-20	
4. Rocas expansivas, actividad expansiva química dependiendo de la presencia de agua.		SRF	
P Presión de expansión suave.		5-10	
R Presión de expansión intensa.		10-20	
- Observaciones al SRF:			
i Reducir los valores del SRF en un 25-50% si las zonas de rotura sólo influyen pero no intersectan a la excavación.			
ii En los casos en que la profundidad de la clave del túnel sea inferior a la anchura del mismo, se sugiere aumentar el SRF de 2,5 a 5 (ver H).			
iii Para campos de tensiones muy anisótropos (si se miden) cuando $5 \leq \sigma_1/\sigma_3 \leq 10$, reducir σ_c y σ_t a 0,8 σ_1 y 0,8 σ_t ; cuando $\sigma_1/\sigma_3 > 10$, reducir σ_c y σ_t a 0,2 σ_1 y 0,6 σ_t , donde σ_3 es la tensión principal mínima que actúa sobre la roca.			

SRF: factor de reducción de esfuerzos

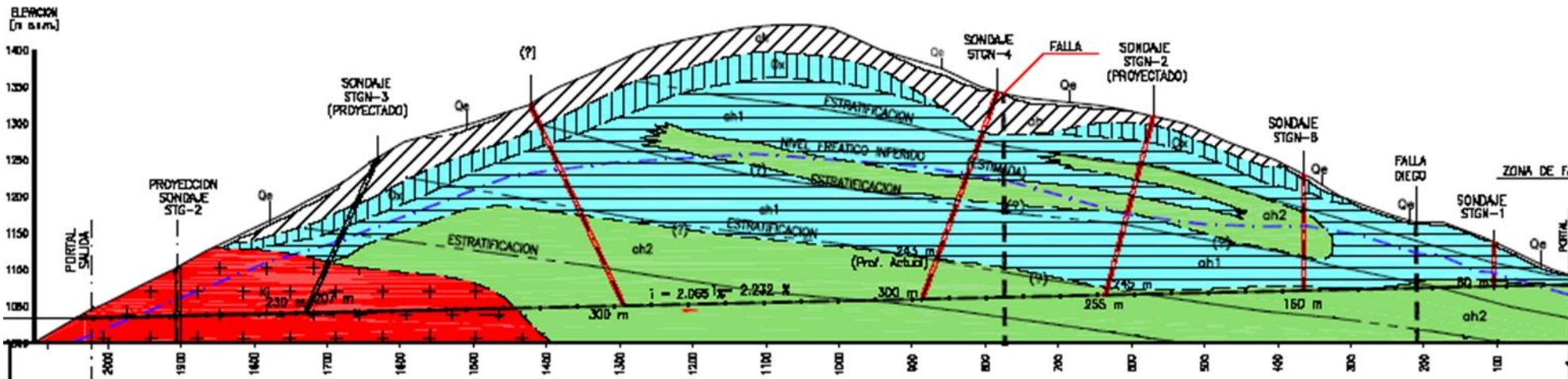
$$Q = \frac{RQD}{J_n} \frac{J_r}{J_a} \frac{J_w}{SRF}$$

$$Q = \frac{RQD}{J_n} \frac{J_r}{J_a} \frac{J_w}{SRF}$$

TIPO DE MACIZO	VALOR DE Q
Excepcionalmente malo	$10^{-3} - 10^{-2}$
Extremadamente malo	$10^{-2} - 10^{-1}$
Muy malo	$10^{-1} - 1$
Malo	$1 - 4$
Medio	$4 - 10$
Bueno	$10 - 40$
Muy bueno	$40 - 100$
Extremadamente bueno	$100 - 400$
Excepcionalmente bueno	$400 - 1000$

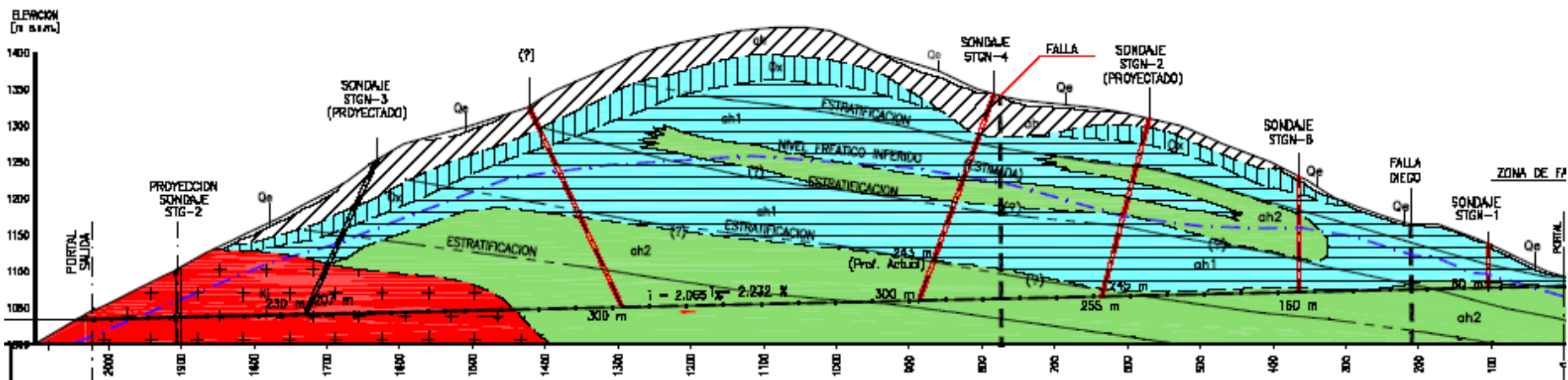
Índice Q

- Aplicación: diseño y excavación de túneles.
- Basado en datos empíricos ↔ distintos tipos y calidades de MR, excavaciones, dimensiones de túneles.
- Imposible predecir las condiciones geotécnicas a lo largo del trazado de un túnel → Estudio geotécnico detallado del sitio: conocimiento de tipos de roca, estructuras geológicas, propiedades mecánicas, riesgos asociados, etc.
- MR se estudia con el avance de la excavación ↔ medición de diversos parámetros, entre ellos Q → conocimiento de las condiciones geotécnicas.



Índice Q

- Estimación de Q en cada tramo de la excavación.
- Diferentes sistemas de soporte según valor Q.
- Elección del sistema de sostenimiento en función del material encontrado a medida que se excava.



Tramo 1: RI, sana, MR de calidad muy buena a buena (Q: 10-40 y 40-100)

Tramo 2: RS, varía calidad del MR → calidad MR regular a mala (Q: 2-10)

Tramo 3: RS, mayor cantidad de discontinuidades (ej.: planos de estratificación), variaciones en calidad y propiedades geomecánicas del MR → calidad MR muy mala (Q: 0,1-1)

Rock Mass Rating, RMR

(Bieniawski, 1976, 1989)

- Índice de calidad calculado como la suma del efecto de **6 parámetros**:
 1. Resistencia a la compresión uniaxial de la roca matriz (0 a 15).
 2. RQD (3 a 20).
 3. Espaciado entre discontinuidades (5 a 20).
 4. Condición de las discontinuidades (0 a 30).
 5. Presencia de agua (0 a 15).
 6. Orientación de las discontinuidades (\hat{i}) con respecto al eje de la excavación (0 a -12).
- Según el valor de cada parámetro se asigna un **valor de contribución al RMR** (en tablas) → Suma de las contribuciones de todos los parámetros = valor RMR

Bieniawski, Z.T. (1976) Rock Mass Classification in Rock Engineering. In: Bieniawski, Z.T., Ed., Symposium Proceedings of Exploration for Rock Engineering, 1, 97-106.

Bieniawski, Z.T. (1989) Engineering Rock Mass Classifications: A Complete Manual for Engineers and Geologists in Mining, Civil and Petroleum Engineering. Wiley, New York

https://iem.ca/pdf/resources/Engineering%20Rock%20Mass%20Classifications_%20A%20Complete%20Manual%20for%20Engineers%20and%20Geologists%20in%20Mining,%20Civil,%20and%20Petroleum%20Engineering.pdf

RMR (Bieniawski, 1976, 1989)

Parámetros de clasificación y valores para RMR
 (Arvizu Lara & Dávila Serrano (2014), Ramírez Oyanguren & Alejano Monge, (2004) Hoek & Brown (1980), en Jiménez López (2020):
<http://www.ptolomeo.unam.mx:8080/xmlui/bitstream/handle/132.248.52.100/17315/Material%20did%C3%A1ctico.pdf?sequence=5&isAlowed=y>

Parámetro		Intervalo de valores					
1	Resistencia de la roca intacta (MPa)	Ensayo de carga puntual	>50	4,0-10	2,0-4,0	1,0-2,0	Para esta escala tan baja es preferible la prueba de compresión simple
	Compresión Simple		>250	100-250	50-100	25-50	5,0-25 1,0-5 <1
	Puntuación		15	12	7	4	2 1 0
2	Porcentaje de RQD		90-100	75-90	50-75	25-50	<25
	Puntuación		20	17	13	8	3
3	Espaciamiento de las discontinuidades		>2m	0,6-2 m	200-600 mm	60-200 mm	<60 mm
	Puntuación		20	15	10	8	5
4	Condición de las discontinuidades		Superficies muy rugosas. Sin continuidad. Sin separación. Paredes de roca inalterada	Superficie ligeramente rugosa. Separación <1 mm. Paredes de roca ligeramente alteradas	Superficie ligeramente rugosa. Separación <1 mm. Paredes de roca altamente alteradas	Superficies pulidas o hendiduras <5 mm o juntas abiertas de 1 a 5 mm. Juntas continuas	Juntas abiertas >5 mm. Juntas continuas.
	Puntuación		30	25	20	10	0
5	Condiciones de agua subterránea	Filtraciones por 10 m de longitud de túnel (l/m)	Ninguna	<10	10,0-25	25-125	>125
		(Presión en discontinuidades)/esfuerzo principal σ	0	<0,1	0,1-0,2	0,2-0,5	>0,5
		Condiciones generales	Totalmente seco	Húmedo	Mojado	Goteo	Flujo
	Puntuación		15	10	7	4	0
6	Orientación de las discontinuidades respecto a la excavación		Muy favorable	Favorable	Regular	Desfavorable	Muy desfavorable
	Puntuación		0	-2	-5	-10	-12

RMR (Bieniawski, 1976, 1989)

Orientación de las discontinuidades (i) con respecto al eje de la excavación: valores de contribución (Ramírez Oyanguren & Alejano Monge (2004). Mecánica de Rocas: Fundamentos e Ingeniería de Taludes (I):

https://www.researchgate.net/publication/281459332_Mecanica_de_Rocas_Fundamentos_e_Ingenieria_de_Taludes_I

RUMBO PERPENDICULAR AL EJE DEL TÚNEL				RUMBO PARALELO AL EJE DEL TÚNEL		BUZAMIENTO 0°-20° (Independiente del rumbo)
DIRECCIÓN SEGÚN BUZAMIENTO		DIRECCIÓN CONTRA BUZAMIENTO		Buzamiento 45°-90°	Buzamiento 20°-45°	
Buzamiento 45°-90°	Buzamiento 20°-45°	Buzamiento 45°-90°	Buzamiento 20°-45°	Buzamiento 45°-90°	Buzamiento 20°-45°	
Muy favorable	Favorable	Regular	Desfavorable	Muy desfavorable	Regular	Desfavorable

ORIENTACION DEL RUMBO Y BUZAMIENTO DE LAS DISCONTINUIDADES		MUY FAVORABLE	FAVORABLE	REGULAR	DESFA- VORABLE	MUY DESFAVO- RABLE
VALORES	TUNELES Y MINAS	0	-2	-5	-10	-12
	CIMENTACIONES	0	-2	-7	-15	-25
	TALUDES	0	-5	-25	-50	-60

RMR (Bieniawski, 1976, 1989)

Suma de las contribuciones de todos los parámetros = valor RMR → Clase de macizo rocoso.

VALOR TOTAL DEL R.M.R	81-100	61-80	41-60	21-40	<20
CLASE NUMERO	I	II	III	IV	V
DESCRIPCION	MUY BUENO	BUENO	MEDIO	MALO	MUY MALO

Ramírez Oyanguren & Alejano Monge (2004). Mecánica de Rocas: Fundamentos e Ingeniería de Taludes (I):
https://www.researchgate.net/publication/281459332_Mecanica_de_Rocas_Fundamentos_e_Ingenieria_de_Taludes_I

Geological Strength Index, GSI (Marinos & Hoek, 2000; Hoek & Marinos, 2018)

- Índice de resistencia geológica.
- Caracterización visual detallada en campo a partir de afloramientos o testigos de sondeos.
- Estimación de las propiedades geomecánicas del MR *in situ*: resistencia y deformación.
- Parámetros para estimar GSI:
 - ✓ Estructura del MR ↔ tamaño y forma de bloques de roca intacta.
 - ✓ Estado de las paredes de las discontinuidades ↔ resistencia al corte.

E. Hoek, E.T. Brown (2018). The Hoek–Brown failure criterion and GSI – 2018 edition. Journal of Rock Mechanics and Geotechnical Engineering, Volume 11, Issue 3, 2019, Pages 445-463.

<https://doi.org/10.1016/j.jrmge.2018.08.001>

Indice GSI

Estimación preliminar de las propiedades geomecánicas del MR a partir del criterio de rotura de Hoek y Brown:

Resistencia $\sigma_{cMR} = \sigma_{ci} \cdot s^a$

Deformación

$$E_{rm} = E_i \left(0.02 + \frac{1-D/2}{1+e^{((60+15D-GSI)/11)}} \right)$$

$$\sigma_1 = \sigma_3 - \sigma_{ci} \left(s - m_b \frac{\sigma_3}{\sigma_{ci}} \right)^a$$

$$m_b = m_i e^{\frac{GSI-100}{28-14D}}$$

$$s = e^{\frac{GSI-100}{9-3D}}$$

$$a = \frac{1}{2} + \frac{1}{6} \left(e^{-\frac{GSI}{15}} - e^{-\frac{20}{3}} \right) \sim 0,5$$

P. Marinos, E. Hoek. (2000). GSI – a geologically friendly tool for rock mass strength. Proceedings GeoEng 2000, International conference on geotechnical and geological engineering, Technomic Publishing Co., Melbourne, Australia, Lancaster, PA (2000), pp. 1422-1440.

<https://www.rockscience.com/assets/resources/learning/hoek/2000-GSI-A-Geologically-Friendly-Tool-for-Rock-Mass-Strength-Estimation.pdf>

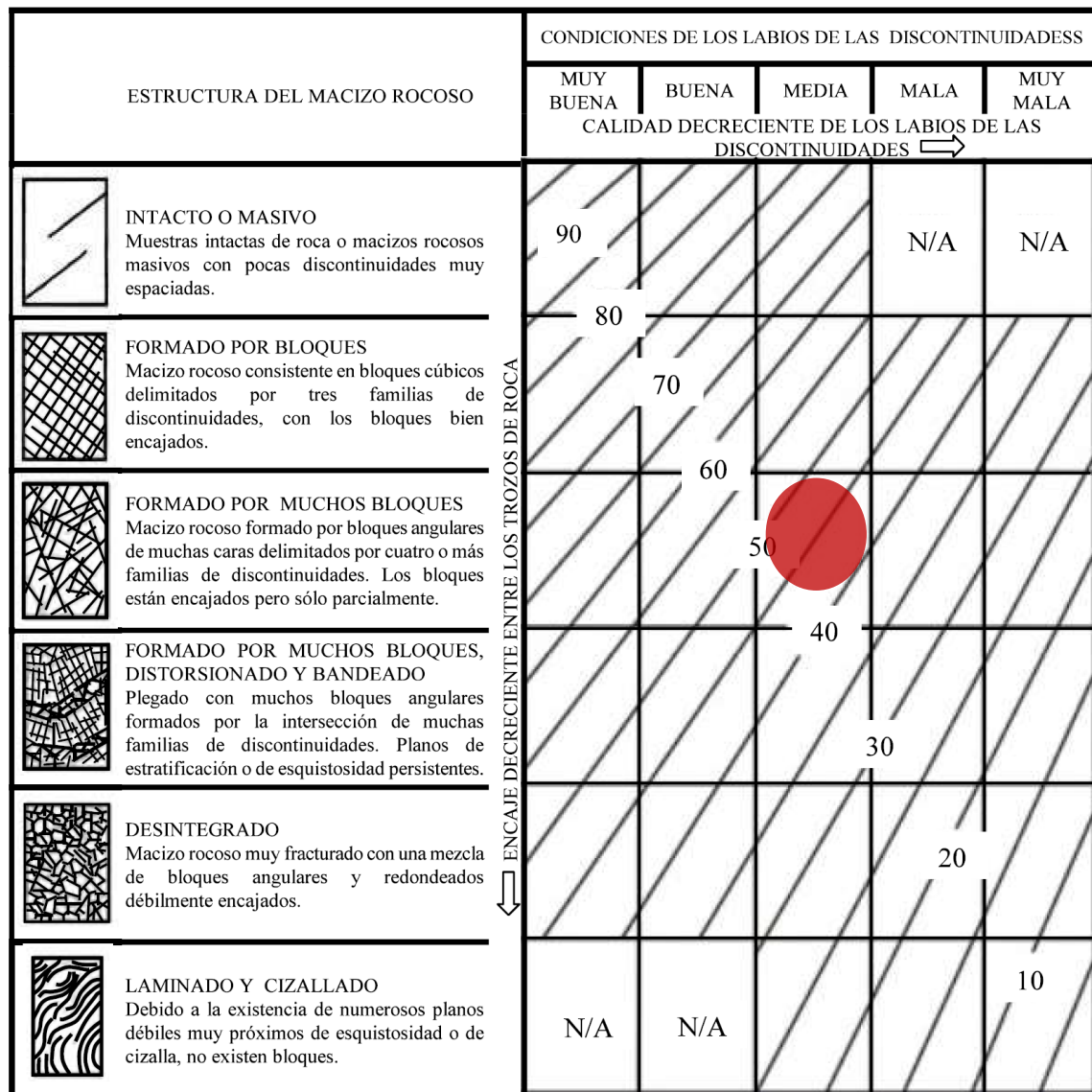
E. Hoek, E.T. Brown (2018). The Hoek–Brown failure criterion and GSI – 2018 edition. Journal of Rock Mechanics and Geotechnical Engineering, Volume 11, Issue 3, 2019, p: 445-463: <https://doi.org/10.1016/j.jrmge.2018.08.001>

Hoek, E & Carranza-Torres, C. & Corkum, Brent & Hoek, Evert & Carranza-Torres, Carlos. (2002). Hoek-Brown failure criterion - 2002 Edition: https://www.researchgate.net/publication/282250802_Hoek-Brown_failure_criterion_-_2002_Edition

Indice GSI

- Categorías MR en base a la estructura: desde intacto hasta desintegrado.
- Calidad de las paredes de las discontinuidades: desde muy buena (paredes rugosas y sanas) a muy mala (lisas y muy alteradas o con rellenos blandos).

Ej.: MR fuertemente fracturado y las paredes de las diaclasas presentan superficies lisas y ligeramente alteradas → **estructura formada por muchos bloques y calidad de las paredes de las discontinuidades media: GSI ~ 40-50**



NOTAS SOBRE LAS CONDICIONES DE LOS LABIOS DE LAS DISCONTINUIDADES

- MUY BUENA : superficies muy rugosas y sanas
- BUENA : superficies rugosas, ligeramente meteorizadas y teñidas de óxido
- MEDIA : superficies lisas y moderadamente meteorizadas y alteradas
- MALA : superficies con espejos de falla y altamente meteorizadas, con rellenos de fragmentos angulares o con recubrimientos compactos
- MUY MALA : superficies con espejo de falla altamente meteorizadas con recubrimientos o rellenos de arcillas blandas

Bibliografía

- Wyllie D. C & Mah C. W. (2004). Rock Slope Engineering. Civil and mining. 4th Ed., Taylor & Francis e-Library, 2005:
https://civilengineering.files.wordpress.com/2014/10/rock_slope_engineering_civil_and_mining.pdf
- Hoek E (2023). Practical Rock Engineering. Hoek's Corner, Rocscience:
<https://static.rocscience.cloud/assets/resources/learning/hoek/Practical-Rock-Engineering-E.Hoek-2023.pdf>
- Hoek, E. & Brown, E.T. (1980). Underground Excavations in Rock. London Institution of Mining and Metallurgy, London, 527 p.
- Hoek, E & Brown, E.T. (1980). Empirical strength criterion for rock masses. Journal of the Geotechnical Engineering Division;106(GT9), p.:1013-1035.
<https://www.rocscience.com/assets/resources/learning/hoek/Empirical-Strength-Criterion-for-Rock-Masses-1980.PDF>
- Hoek, E. & Brown, E.T. (2018). The Hoek–Brown failure criterion and GSI – 2018 edition. Journal of Rock Mechanics and Geotechnical Engineering, Volume 11, Issue 3, 2019, p: 445-463: <https://doi.org/10.1016/j.jrmge.2018.08.001>

- P. Marinos, E. Hoek. (2000). GSI – a geologically friendly tool for rock mass strength. Proceedings GeoEng 2000, International conference on geotechnical and geological engineering, Technomic Publishing Co., Melbourne, Australia, Lancaster, PA (2000), pp. 1422-1440.
<https://www.rocscience.com/assets/resources/learning/hoek/2000-GSI-A-Geologically-Friendly-Tool-for-Rock-Mass-Strength-Estimation.pdf>
- Hoek, E & Carranza-Torres, C. & Corkum, Brent & Hoek, Evert & Carranza-Torres, Carlos. (2002). Hoek-Brown failure criterion - 2002 Edition:
https://www.researchgate.net/publication/282250802_Hoek-Brown_failure_criterion_-2002_Edition
- E. Hoek, E.T. Brown (1997). Practical estimates of rock mass strength. International Journal of Rock Mechanics and Mining Sciences, Volume 34, Issue 8, 1997, Pages 1165-1186:
[https://doi.org/10.1016/S1365-1609\(97\)80069-X](https://doi.org/10.1016/S1365-1609(97)80069-X)
- Brady B. H. G. & Brown E. (2006). Rock mechanics. For underground mining. 3rd Ed., Springer Dordrecht Publ.
- Barton, Nick & Choubey, Vishnu. (1977). The shear strength of rock joints in theory and practice. Rock Mechanics Felsmechanik Mecanique des Roches. 10. 1-54.
https://www.researchgate.net/publication/227011689_The_shear_strength_of_rock_joints_in_theory_and_practice
- Nick Barton (2013). Shear strength criteria for rock, rock joints, rockfill and rock masses: Problems and some solutions. Journal of Rock Mechanics and Geotechnical Engineering. Volume 5, Issue 4, 2013: 249-261
<https://www.sciencedirect.com/science/article/pii/S1674775513000449>

International Society for Rock Mechanics and Rock Engineering:

<https://www.isrm.net/>

Rock Mass Website, Geology Applied in Rock Construction:

<http://www.rockmass.net/>

Nick Barton. Hard and Soft Rock Engineering: <http://www.nickbarton.com>

Rocscience: <https://www.rocscience.com>

<https://www.rocscience.com/learning/hoeks-corner>

Espacio Bieniawski. Geocontrol:

<https://geocontrol.es/es/espacio-bieniawski>